



VYSOKÉ UČENÍ TECHNICKÉ V BRNĚ

BRNO UNIVERSITY OF TECHNOLOGY

FAKULTA STAVEBNÍ

FACULTY OF CIVIL ENGINEERING

ÚSTAV KOVOVÝCH A DŘEVĚNÝCH KONSTRUKCÍ

INSTITUTE OF METAL AND TIMBER STRUCTURES

AQUAPARK VE ZNOJMĚ

AQUAPARK IN ZNOJMO

BAKALÁŘSKÁ PRÁCE

BACHELOR'S THESIS

AUTOR PRÁCE

AUTHOR

PATRIK ANDREJ

VEDOUCÍ PRÁCE

SUPERVISOR

Ing. JAN BARNAT, Ph.D.

BRNO 2018



VYSOKÉ UČENÍ TECHNICKÉ V BRNĚ

BRNO UNIVERSITY OF TECHNOLOGY

FAKULTA STAVEBNÍ

FACULTY OF CIVIL ENGINEERING

ÚSTAV KOVOVÝCH A DŘEVĚNÝCH KONSTRUKCÍ

INSTITUTE OF METAL AND TIMBER STRUCTURES

A – PRŮVODNÍ DOKUMENT

A – ACCOMPANYING REPORT

BAKALÁŘSKÁ PRÁCE

BACHELOR'S THESIS

AUTOR PRÁCE

AUTHOR

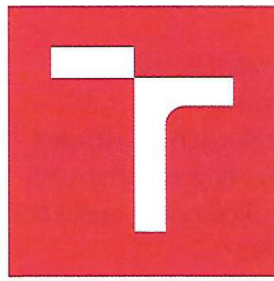
PATRIK ANDREJ

VEDOUCÍ PRÁCE

SUPERVISOR

Ing. JAN BARNAT, Ph.D.

BRNO 2018

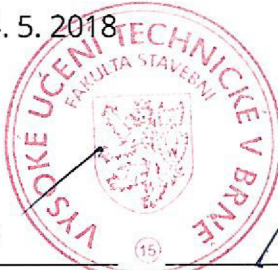


VYSOKÉ UČENÍ TECHNICKÉ V BRNĚ FAKULTA STAVEBNÍ

Studijní program	B3607 Stavební inženýrství
Typ studijního programu	Bakalářský studijní program s prezenční formou studia
Studijní obor	3647R013 Konstrukce a dopravní stavby
Pracoviště	Ústav kovových a dřevěných konstrukcí

ZADÁNÍ BAKALÁŘSKÉ PRÁCE

Student	Patrik Andrej
Název	Aquapark ve Znojmě
Vedoucí práce	Ing. Jan Barnat, Ph.D.
Datum zadání	30. 11. 2017
Datum odevzdání	25. 5. 2018
V Brně dne 30. 11. 2017	


prof. Ing. Marcela Karmazínová, CSc.
Vedoucí ústavu


prof. Ing. Rostislav Drochytka, CSc., MBA
Děkan Fakulty stavební VUT

PODKLADY A LITERATURA

- [1] ČSN EN 1990- Zásady navrhování konstrukcí
- [2] ČSN EN 1991- Zatížení konstrukcí
- [3] ČSN EN 1993- Navrhování ocelových konstrukcí
- [4] ČSN EN 1995- Navrhování dřevěných konstrukcí
- [5] Koželouh B.: Dřevěné konstrukce podle eurokódu 5 - Step 1 Navrhování a konstrukční materiály, Bohumil Koželouh 1998
- [6] Melcher J., Straka B.: Kovové konstrukce- Konstrukce průmyslových budov, SNTL Praha 1985

ZÁSADY PRO VYPRACOVÁNÍ

Vypracujte návrh nosné konstrukce budovy aquaparku ve Znojmě. Minimální půdorysné rozměry budovy jsou stanoveny na 20x50 m. Minimální světlá výška ve vrcholu konstrukce 8 m. Tvar konstrukce volte s ohledem na architektonické požadavky související s účelem stavby. Pro nosnou konstrukci zvolte ocel řady S235 nebo S355.

STRUKTURA BAKALÁŘSKÉ PRÁCE

VŠKP vypracujte a rozčleňte podle dále uvedené struktury:

1. Textová část VŠKP zpracovaná podle Směrnice rektora "Úprava, odevzdávání, zveřejňování a uchovávání vysokoškolských kvalifikačních prací" a Směrnice děkana "Úprava, odevzdávání, zveřejňování a uchovávání vysokoškolských kvalifikačních prací na FAST VUT" (povinná součást VŠKP).
2. Přílohy textové části VŠKP zpracované podle Směrnice rektora "Úprava, odevzdávání, zveřejňování a uchovávání vysokoškolských kvalifikačních prací" a Směrnice děkana "Úprava, odevzdávání, zveřejňování a uchovávání vysokoškolských kvalifikačních prací na FAST VUT" (nepovinná součást VŠKP v případě, že přílohy nejsou součástí textové části VŠKP, ale textovou část doplňují).



Ing. Jan Barnat, Ph.D.
Vedoucí bakalářské práce

POPISNÝ SOUBOR ZÁVĚREČNÉ PRÁCE

Vedoucí práce Ing. Jan Barnat, Ph.D.

Autor práce Patrik Andrej

Škola Vysoké učení technické v Brně

Fakulta Stavební

Ústav Ústav kovových a dřevěných konstrukcí

Studijní obor 3647R013 Konstrukce a dopravní stavby

Studijní program B3607 Stavební inženýrství

Název práce Aquapark ve Znojmě

**Název práce
v anglickém
jazyce** Aquapark in Znojmo

Typ práce Bakalářská práce

Přidělovaný titul Bc.

Jazyk práce Slovenčina

**Datový formát
elektronické
verze** PDF

Abstrakt práce Predmetom bakalárskej práce je návrh a posúdenie oceľovej konštrukcie aquaparku v meste Znojmo. Dispozičné riešenie zohľadňuje požiadavky umiestnenia stavby. Objekt má obdĺžnikový pôdorys o rozmeroch 24,0 x 50,0 m a výška vo vrchole je 11,0 m. Nosná časť objektu je tvorená sústavou oblúkových priečradových väzníkov, ktoré sú klivo uložené na votknutých stĺpoch. Vzdialenosť priečnych väzieb je 5,0 m. Priestorová tuhost konštrukcie je zaistená sústavou stužidiel. Práca obsahuje statický posudok hlavných nosných prvkov vrátane spojov. Strešný a obvodový plášť je tvorený sendvičovými panelmi.

**Abstrakt práce
v anglickém
jazyce** The subject of the bachelor thesis is a design and an assessment of the steel structure aquapark in the city Znojmo. Disposition of the structure respects the requirements for building location. The main supporting structure consists of arched trusses, which are hinged connected with the fixed columns. Distance between cross links is 5,0 m. Structure stability ensures system of bracings. Structural design report contains of assessment the main load-bearing elements and joints. The roofing and exterior building envelope consists of sandwich panels.

Klíčová slova Aquapark, oceľová konštrukcia, oblúkový priečradový väzník, stužidlá, votknutý stĺp

**Klíčová slova
v anglickém
jazyce** Aquapark, steel structure, arched truss, bracings, fixed column

ABSTRAKT

Predmetom bakalárskej práce je návrh a posúdenie oceľovej konštrukcie aquaparku v meste Znojmo. Dispozičné riešenie zohľadňuje požiadavky umiestnenia stavby. Objekt má obdĺžnikový pôdorys o rozmeroch 24,0 x 50,0 m a výška vo vrchole je 11,0 m. Nosná časť objektu je tvorená sústavou oblúkových priečnych väzníkov, ktoré sú kľovo uložené na votknutých stĺpoch. Vzdialenosť priečnych väzieb je 5,0 m. Priestorová tuhost konštrukcie je zaistená sústavou stužidel. Práca obsahuje statický posudok hlavných nosných prvkov vrátane spojov. Strešný a obvodový plášť je tvorený sendvičovými panelmi.

ABSTRACT

The subject of the bachelor thesis is a design and an assessment of the steel structure aquapark in the city Znojmo. Disposition of the structure respects the requirements for building location. The main supporting structure consists of arched trusses, which are hinged connected with the fixed columns. Distance between cross links is 5,0 m. Structure stability ensures system of bracings. Structural design report contains of assessment the main load-bearing elements and joints. The roofing and exterior building envelope consists of sandwich panels.

KLÚČOVÉ SLOVÁ

Aquapark, oceľová konštrukcia, oblúkový priečny väzník, stužidlá, votknutý stlp

KEYWORDS

Aquapark, steel structure, arched truss, bracings, fixed column

BIBLIOGRAFICKÁ CITACE VŠKP

Patrik Andrej *Aquapark ve Znojmě*. Brno, 2018. 68 s., 4 s. příl. Bakalářská práce. Vysoké učení technické v Brně, Fakulta stavební, Ústav kovových a dřevěných konstrukcí. Vedoucí práce Ing. Jan Barnat, Ph.D.

PROHLÁŠENÍ

Prohlašuji, že jsem bakalářskou práci zpracoval(a) samostatně a že jsem uvedl(a) všechny použité informační zdroje.

V Brně dne 24. 5. 2018

Patrik Andrej
autor práce

PROHLÁŠENÍ O SHODĚ LISTINNÉ A ELEKTRONICKÉ FORMY VŠKP

PROHLÁŠENÍ

Prohlašuji, že elektronická forma odevzdané bakalářské práce je shodná s odevzdanou listinnou formou.

V Brně dne 24. 5. 2018

Patrik Andrej
autor práce

Pod'akovanie

Chcel by som pod'akovat' vedúcomu mojej bakalárskej práce, pánovi Ing. Janovi Barnatovi, Ph.D., za cenné rady, prípomienky a čas venovaný pri konzultáciách. V neposlednom rade ďakujem mojej rodine, priateľke a známym, ktorí ma podporovali pri písaní bakalárskej práce.

Patrik Andrej

Zoznam použitej literatúry:

Normativné dokumenty

- [1] ČSN EN 1990 Eurokód: Zásady navrhování konstrukcí
- [2] ČSN EN 1991-1-1 Eurokód 1: Zatížení konstrukcí – Část 1-1: Obecná zatížení – Objemové tíhy, vlastní tíha a užitná zatížení pozemních staveb
- [3] ČSN EN 1991-1-3 Eurokód 1: Zatížení konstrukcí – Část 1-3: Obecná zatížení – Zatížení snehem
- [4] ČSN EN 1991-1-4 Eurokód 1: Zatížení konstrukcí – Část 1-4: Obecná zatížení – Zatížení větrem
- [5] ČSN EN 1993-1-1 Eurokód 3: Navrhování ocelových konstrukcí – Část 1-1: Obecná pravidla a pravidla pro pozemní stavby
- [6] ČSN EN 1993-1-8 Eurokód 3: Navrhování ocelových konstrukcí – Část 1-8: Navrhování styčníku
- [7] ČSN EN 10027-1 Systémy označování ocelí – Část 1: Stavba značek ocelí

Literatura

- [8] Prof. Ing. Jiří Studnička, DrSc. – Ocelové konstrukce – Normy
- [9] prof. Ing. HOLICKÝ, M. DrSc., doc. Ing. MARKOVÁ, J. Ph.D., Ing. SÝKORA, M. Ph.D. Zatížení stavebních konstrukcí. Průručka k SN EN 1991, Praha: KAIT, s.r.o., 2009, p.184

Internetové stránky

- [10] <https://online.ferona.cz/>
- [11] Kingspan, Česká republika. Dostupné z: <http://www.kingspan.cz/>
- [11] Hilti, Česká republika. Dostupné z: <https://www.hilti.cz/>

Obsah práce

A – Průvodní dokument

1. Titulní list
2. Zadání VŠKP
3. Popisný soubor závěrečné práce
4. Abstrakt a kľúčové slová
5. Bibliografická citace
6. Prohlášení o pôvodnosti VŠKP
7. Prohlášení o shodě listinné a elektronické formy
8. Podávanie
9. Zoznam použitej literatúry
10. Obsah práce

B – Technická správa

C – Statický výpočet

D – Programový výstup

E – Vykresová dokumentácia

1. Dispozícia konštrukcie
2. Detaily
3. Plán kotvenia



VYSOKÉ UČENÍ TECHNICKÉ V BRNĚ

BRNO UNIVERSITY OF TECHNOLOGY

FAKULTA STAVEBNÍ

FACULTY OF CIVIL ENGINEERING

ÚSTAV KOVOVÝCH A DŘEVĚNÝCH KONSTRUKCÍ

INSTITUTE OF METAL AND TIMBER STRUCTURES

B – TECHNICKÁ ZPRÁVA

B – TECHNICAL REPORT

BAKALÁŘSKA PRÁCE

BACHELOR'S THESIS

AUTOR PRÁCE

AUTHOR

PATRIK ANDREJ

VEDOUCÍ PRÁCE

SUPERVISOR

Ing. JAN BARNAT, Ph.D.

BRNO 2018

OBSAH

1	Obecné údaje	1
2	Normativné dokumenty	1
3	Materiál	1
4	Predpoklady návrhu nosnej konštrukcie	1
5	Zaťaženie	1
5.1	Stále zaťaženie	2
5.2	Premenné zaťaženie	2
6	Popis konštrukčného riešenia	2
6.1	Stípy	2
6.2	Priehradový väzník	3
6.3	Väznice	3
6.4	Paždíky	3
6.5	Priečne stužidlá	4
6.6	Pozdĺžne stužidlo	4
6.7	Opláštenie	4
6.8	Základy a kotvenie	4
7	Povrchová úprava konstrukce	5
8	Montáž	5
9	Výkaz materiálu	6

1 Obecné údaje

Cieľom bakalárskej práce je návrh a posúdenie oceľovej konštrukcie aquaparku v lokalite mesta Znojmo. Statická analýza priestorového modelu bola vytvorená v programe Scia Engineer. Jedná sa o halu s obdlžníkovým pôdorysom s rozmermi 24 x 50 m. Svetlá výška konštrukcie je 8m a konštrukčná výška 11 m. Hlavnú nosnú časť tvorí priečna väzba tvorená oblúkovým priehradovým väzníkom, ktorý je kľovo uložený na vetknutých stĺpoch.

2 Normativné dokumenty

ČSN EN 1990, Eurokód – Zásady navrhování konstrukcí

ČSN EN 1991, Eurokód 1 – Zatížení konstrukcí

ČSN EN 1993, Eurokód 3 – Navrhování ocelových konstrukcí

ČSN 01 3483, Výkresy kovových konstrukcií

3 Materiál

Celkový materiál použitý na nosnú konštrukciu vrátane všetkých spojov, plechov je ocel S235JR. Spojovací materiál jednotlivých častí je pevnostnej triedy 5.8, ak nie je uvedené inak. Nosná konštrukcia je vyrobená z ocele tvarovanej za studena.

4 Predpoklady návrhu nosnej konštrukcie

Statické posúdenie konštrukcie bolo spočítané podľa ČSN EN 1993. Objekt bol navrhnutý na medzný stav únosnosti na najnepriaznivejšiu kombináciu návrhových hodnôt zaťaženia s uvážením vplyvu straty stability. Medzný stav použiteľnosti vychádzal z najnepriaznivejšej hodnoty deformácie z charakteristických hodnôt zaťaženia.

5 Zaťaženie

Nosná oceľová konštrukcia bola dimenzovaná na nasledujúce zaťaženia.

5.1 Stále zaťaženie

Vlastná tiaž konštrukcie bola automaticky vygenerovaná programom Scia Engineer.

Strešný plášť: $g_k = 0,1235 \text{ kg/m}^2$

5.2 Premenné zaťaženie

Klimatické zaťaženie snehom so snehovou oblasťou I a charakteristickou hodnotou zaťaženia $s_k = 0,7 \text{ kN/m}^2$.

Klimatické zaťaženie vetrom s vетernou oblasťou III a základnou rýchlosťou vetra $v_{b,0} = 27,5 \text{ m/s}$.

Osamelé bremeno s hodnotou 1 kN.

6 Popis konštrukčného riešenia

Priečne väzby halového systému sú medzi modulovými osami 1 – 2 po vzdialostiach 5 m. V pozdĺžnom smere sú spojené väznicami, paždíkami a sústavou stužidel. Tuhosť konštrukcie v priečnom smere zabezpečujú vetknuté stĺpy do základov a v pozdĺžnom smere priečne stužidlá umiestnené v krajných poliach spoločne s pozdĺžnymi stužidlami, ktoré sú v 1/2 rozpätia haly. Priečna väzba je tvorená priehradovým väzníkom s oblúkovým horným pásmom a vodorovným dolným pásmom, vyrobené z trubkových profilov. Rozpäcia väzníkov sú 24 m medzi modulovými osami A - G, 21 m v modulovej osi H a 18 m medzi modulovými osami CH – J, ktoré sú kľovo uložené na vetknutých stĺpoch HEA240. Čelné stĺpy haly sú kľovo uložené a postupne prechádzajú až k hornému pásu väzniaka. Sú z profilu HEA200.

6.1 Stĺpy

V konštrukcii sa nachádzajú dva druhy nosných stĺpov. Krajné stĺpy sú z profilu HEA 240, sú privarené na pätný plech tl.40 mm, ktorý je ukotvený do základových pätek pomocou kotevných skrutiek 4 x Ø 24. Na prenos posúvajúcej sily je použitý úpalok z profilu UPE 100 o dl. 100 mm. Výška stĺpov je 8 m medzi modulovými osami A – G a v ustupujúcej časti 10,25 m medzi modulovými osami H - J. Uloženie stĺpov je vetknuté v priečnom smere a kľovo v pozdĺžnom smere.

Čelné stípy sú z profilu HEA 200. Päta stípu je privarená k pätnému plechu tl. 40 mm a ukotvená do základovej pätky lepenými kotvami HILTI Ø 24 pomocou vysoko únosnej lepiacej hmoty HIT – HY 150 MAX. Na prenos posúvajúcej sily je použitý úpalok z profilu UPE 100 o dl. 100 mm.

6.2 Priehradový väzník

Strešná nosná konštrukcia pozostáva z 3 väzníkov rôzneho rozpätia. Väzník s rozpätím 24 m sa nachádza medzi osami A - G, väzníky s rozpätím 21 m v ose H a 18 m medzi osamim CH – J. Väzník je tvorený kruhovými trubkami, ktoré sú v styčníkoch zvarené kútovými zvarmi. Horný pás je z profilu TO Ø 152,4 x 5, dolný pás Ø 133x 6,3, diagonály Ø 73 x 7,1 a zvislice Ø 70 x 5,6. Horní pás je namáhaný prevažne tlakom, dolný pás je namáhaný t'ahom, len pri saní vetra je namáhaný tlakom. Proti vybočeniu z roviny je dolný pás zabezpečený pozdĺžnym stužidlom v 1/2 rozpätia. U väzníka s rozpätím 21 m a 18 m je umožnený vodorovný posun dolného pásu. Väzník je vyrobený z dvoch montážnych častí, ktoré budú spojené skrutkami u horného pasu 2 x M12 pevnostnej triedy 5.8 a u dolného pasu 6 x M16 pevnostnej triedy 5.8.

6.3 Väznice

Väznice sú navrhnuté z profilu IPE 240, ktoré sú uložené na hornom páse väzníka ako prosté nosníky s dĺžkou 5 m. Pripojenie väzníc je riešené priskrutkováním k uholníku L 140 x 140 x 10 pomocou skrutiek 2 x M12 5.8 a privarením k hornému pasu väzníka.

6.4 Paždíky

Na konštrukciu sa nachádzajú 2 druhy paždíka IPE 160, IPE 180, ktoré sú klíbovo uložené v oboch smeroch. Paždík z profilu IPE 180 je použitý v krajných poliach modulové osy A – B a I - J, pre vhodnejšie pripojenie stenového stužidla. Paždíky IPE 160 sú použité na zvyšok konštrukcie. Oba sú pripojené k privarenému plechu tl. 5 mm pomocou skrutiek 2 x M12 5.8.

6.5 Priečne stužidlá

Stužidlá sú konštruované na prenos ťahovej aj tlakovej sily. Sú navrhnuté z trubkového profilu Ø 60,3 x 7,1. Stužidlá sú pripojené na privarený plech tl. 5 mm prostredníctvom skrutiek 2 x M16 5.8.

6.6 Pozdĺžne stužidlo

Pozdĺžne stužidlo sa nachádza v 1/2 rozpäťia priečnej väzby. Je navrhnuté z trubkových profilov Ø 70 x 8,8. Pri napojení na čelné stĺpy je umožnený vodorovný posun dolného pásu stužidla.

6.7 Opláštenie

Na strešný plášť sú použité strešné izolačné panely Kingspan KS1000 TOP-DEK 100. Panely sú kladené v smere priečnej väzby a konštrukčne spojené s väznicami. Obvodový plášť je tvorený zo stenových izolačných panelov Kingspan KS1000, konštrukčne pripojených na paždíky.

6.8 Základy a kotvenie

Krajiné stĺpy konštrukcie sú vetknuté do základovej pätky. Pätky sú zhotovené z betonu C16/20. Kotvenie stĺpov je prevedené pomocou privarenej pätnnej dosky tl. 40 mm a štyroch skrutiek Ø 24 mm pevnostnej triedy 8.8. Čelné stĺpy haly sú klíbovo uložené do základovej pätky. Pätky sú z betonu C16/20. Klíbové ukotvenie je prevedené pomocou dvoch kotvených skrutiek HILTI Ø 24 5.8, ktoré sú vlepené do predvŕtaných otvorov v základovej pätte pomocou vysoko únosnej lepiacej hmoty HIT – HY 150 MAX. Všetky vŕtane otvory sú zväčšené o 20 mm na každú stranu. U všetkých stĺpov je navrhnuté podliatie cementovou maltou tl. 40 mm s pevnosťou o triedu vyššiu ako je pevnosť betonu základovej pätky. Na prenos posúvajúcej sily je navrhnutý úpalok z profilu UPE 100 dl. 100 mm.

7 Povrchová úprava konstrukce

Všetky oceľové prvky musia byť ošetrené protikoróznym náterom Sika Poxicolor v súlade s platnou normou. Protipožiarná ochrana je riešená podľa požiadaviek požiarnej správy. Po dokončení montáže je nutné skontrolovať poškodenie náteru a následne ho opraviť.

8 Montáž

Trieda provádjení je stanovená na EXC2. Montáž je možná z oboch koncov zároveň. Po dokončení výkopových prác a vybetonovania základových pätek sa začína montážou stĺpov v krajných poliach s montážou paždíkov a stenových stužidiel. Osadenie stĺpov sa vykoná pomocou zdvívacej techniky. Stĺpy sa upevnia na predom zabetonované kotvy, prebehne korekcia stĺpu s následným podliatím cementovou maltou tl 40 mm. Na pracovnej ploche sa spoja pomocou čelných dosiek časť priehradového väzníka. Nasleduje osadenie väzníka na krajné stĺpy spoločne so strešnými stužidlami. Pripojenie väzníc na väzníky a montáž ďalších zbývajúcich väzieb rovnakým postupom. Na záver sa ukotvia čelné stĺpy, na ktoré sa upevnia paždíky a v hornej časti sa pripievajú už iba horný pás väzníka. Zhotovenie vrtných otvorov v základovej pätku s Ø 64 mm, vyplnenie otvoru vysoko únosnou lepiacou hmotou HIT – HY 150 MAX a vloženie kotiev HILTI Ø 24 5.8. Prebehne korekcia stĺpu s následným podliatím cementovou maltou tl 40 mm.

9 Výkaz materiálu

Jméno	Hmotnost [kg]	Povrch [m ²]	Objem [m ³]				
Celkový součet :	54136,2	1441,999	6,8963e+00				
Vysvětlivky symbolů							
Povrch	Pozn.: pro výpočet plochy povrchu se uvažuje pouze jeden povrch každého 2D dílce						
Průřez	Materiál	Jednotková hmotnost [kg/m]	Délka [m]	Hmotnost [kg]	Povrch [m ²]	Objemová hmotnost [kg/m ³]	Objem [m ³]
Hlavný stlp - HEA240	S 235	60,3	184,211	11105,7	252,369	7850,0	1,4147e+00
Štítový stlp - HEA200	S 235	42,2	124,221	5246,2	141,612	7850,0	6,6831e-01
Horný páš - RO152,4X5	S 235	18,2	252,102	4591,3	120,505	7850,0	5,8488e-01
Dolní páš - RO133X6,3	S 235	19,7	201,000	3960,4	84,018	7850,0	5,0451e-01
Zvislica - RO70X5,6	S 235	8,9	134,742	1195,2	29,560	7850,0	1,5226e-01
Diagonála - RO70X8,8	S 235	13,3	196,523	2607,2	43,113	7850,0	3,3212e-01
Váznica - IPE240	S 235	30,7	426,891	13102,8	393,478	7850,0	1,6691e+00
Stenové stužidlo - RO60,3X7,1	S 235	9,3	94,470	882,5	17,853	7850,0	1,1242e-01
Pozdívne stužidlo - RO70X8,8	S 235	13,3	128,102	1699,5	28,103	7850,0	2,1649e-01
Strešné stužidlo - RO60,3X8	S 235	10,3	219,204	2254,2	41,425	7850,0	2,8716e-01
Paždík 1 - IPE160	S 235	15,8	358,493	5656,5	223,153	7850,0	7,2057e-01
Paždík 2 - IPE180	S 235	18,8	94,384	1770,8	65,868	7850,0	2,2558e-01
Diagonala 2 - RO73X10	S 235	15,5	4,119	64,0	0,942	7850,0	8,1563e-03



VYSOKÉ UČENÍ TECHNICKÉ V BRNĚ
BRNO UNIVERSITY OF TECHNOLOGY

FAKULTA STAVEBNÍ
FACULTY OF CIVIL ENGINEERING

ÚSTAV KOVOVÝCH A DŘEVĚNÝCH KONSTRUKCÍ
INSTITUTE OF METAL AND TIMBER STRUCTURES

C – STATICKÝ VÝPOČET
STRUCTURAL ANALYSIS

BAKALÁŘSKA PRÁCE
BACHELOR'S THESIS

AUTOR PRÁCE
AUTHOR

PATRIK ANDREJ

VEDOUCÍ PRÁCE
SUPERVISOR

Ing. JAN BARNAT, Ph.D.

BRNO 2018

OBSAH

1	Popis konštrukcie.....	1
2	Geometria	2
3	Výpočtový model	4
4	Zaťaženie konštrukcie	5
4.1	Zaťaženie stále	5
4.1.1	ZS1 Vlastná tiaž	5
4.1.2	ZS2 Strešný plášť	5
4.1.3	ZS3 TZB	6
4.2	Zaťaženie premenné.....	6
4.2.1	ZS9 Sneh plný	6
4.2.2	ZS4 Sneh naviatý vľavo	8
4.2.3	ZS5 Sneh naviatý vpravo.....	9
4.2.4	ZS6 Pozdĺžny vektor	10
4.2.5	ZS7 Priečny vektor	15
4.2.6	ZS8 Osamelé bremeno.....	19
4.3	Kombinácie zaťaženia	20
5	Vnútorné sily	21
5.1	Kontrola výsledkov.....	21
6	Medzný stav únosnosti	22
6.1	Horný pás	22
6.1.1	Materiálové a prierezové charakteristiky	22
6.1.2	Vnútorné sily	23
6.1.3	Posudok na tlak.....	23
6.1.4	Posudok ohybového momentu	23
6.1.5	Posudok rovinného vzperu	23
6.1.6	Posudok ohybu a osového tlaku	24
6.2	Dolný pás	25
6.2.1	Materiálové a prierezové charakteristiky	25

6.2.2	Vnútorné sily	26
6.2.3	Posudok na ťah	26
6.2.4	Posudok rovinného vzperu	26
6.2.5	Posudok ohybu a osového tlaku	27
6.3	Väznica	29
6.3.1	Materiálové a prierezové charakteristiky	29
6.3.2	Vnútorné sily	30
6.3.3	Posudok na ohyb.....	30
6.3.4	Posudok klopenia.....	30
6.4	Hlavný stĺp	31
6.4.1	Materiálové a prierezové charakteristiky	31
6.4.2	Vnútorné sily	32
6.4.3	Posudok na ohyb.....	32
6.4.4	Posudok na smyk	32
6.4.5	Posudok klopenia.....	33
6.5	Strešné stužidlo	34
6.5.1	Materiálové a prierezové charakteristiky	34
6.5.2	Vnútorne sily	35
6.5.3	Posudok rovinného vzperu	35
6.5.4	Posudok ohybu a osového tlaku	36
7	Medzny stav použiteľnosti	37
7.1	Väznica	37
7.2	Väzník	38
7.3	Hlavné stĺpy	38
7.4	Paždiky.....	39
7.5	Strešné stužidlo	40
7.6	Čelné stĺpy	40
8	Detailedy	41

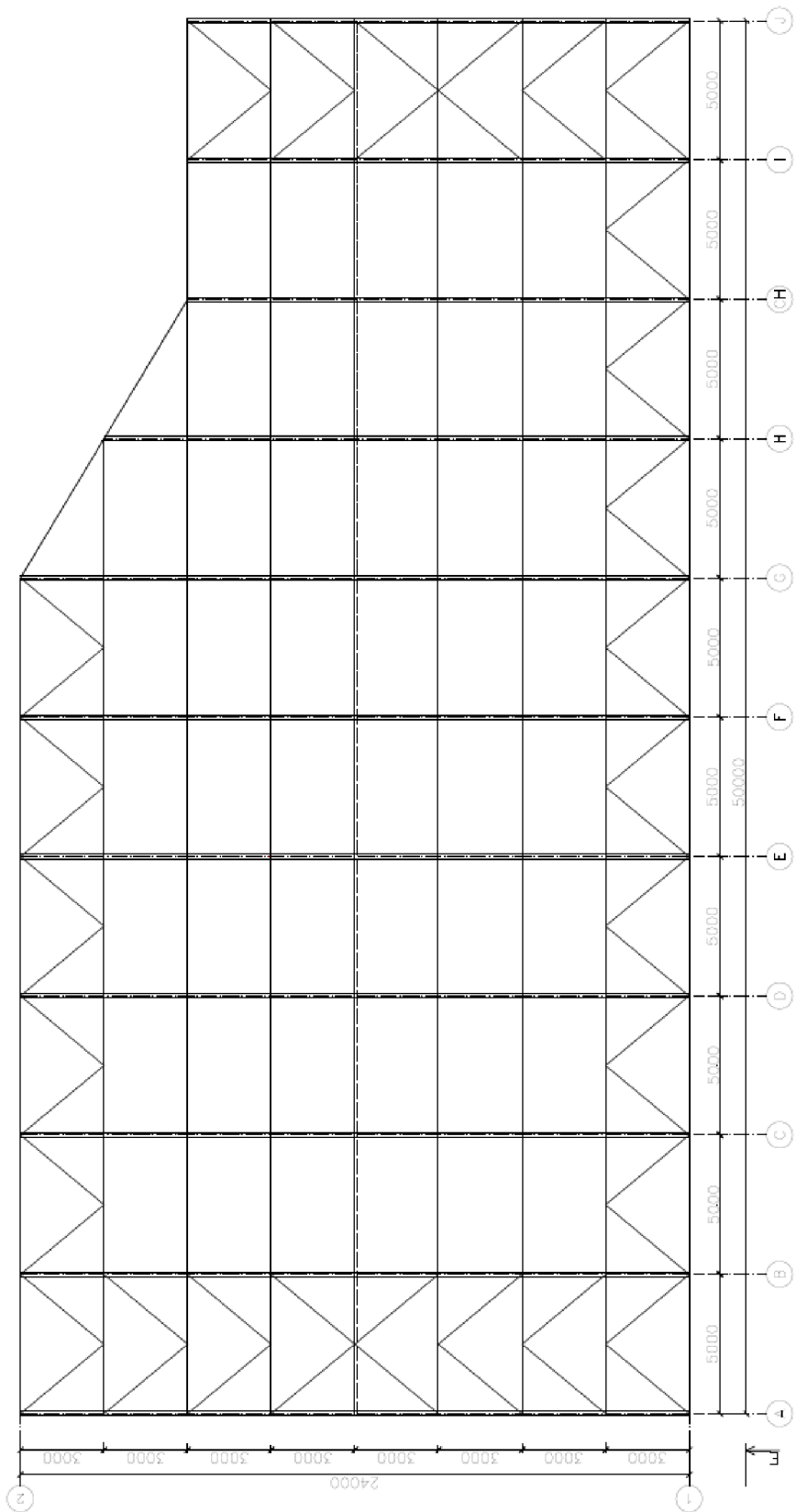
8.1	Detail A	41
8.1.1	Pripojenie paždíka na stĺp.....	42
8.1.2	Pripojenie stužidla na stĺp.....	43
8.1.3	Pripojenie stužidla na paždík.....	44
8.2	Detail B	45
8.2.1	Uloženie väznice na väzník	45
8.2.2	Uloženie väzníka na stĺp.....	46
8.3	Detail C	47
8.3.1	Pripojenie diagonál a zvislice k hornému pásu	47
8.3.2	Montážny spoj horného pásu.....	51
8.3.3	Montážny spoj dolného pásu	52
9	Kotvenie stĺpu.....	55
9.1	Návrhová únosnosť tŕahanej časti	56
9.1.1	Únosnosť konzoly pätného plechu s dvoma skrutkami.....	56
9.1.2	Únosnosť dvoch kotviacich skrutiek M24.....	56
9.2	Tlačená časť pätky	56
9.2.1	Návrhová pevnosť betonu	57
9.2.2	Určenie efektívnej plochy pätky	57
9.2.3	Momentová únosnosť pätky stĺpu	57
9.2.4	Návrhová únosnosť tlačenej pätky	57
9.2.5	Posudok pätného plechu na tlakové namahnie.....	58
9.2.6	Prenos posúvajúcej sily	58
9.2.7	Posúdenie kotviacich skrutiek 4x Ø24 8.8	58
9.2.8	Posudok zvaru dosky a stĺpu	59
	ZOZNAM OBRÁZKOV	60
	ZOZNAM TABULIEK	62

1 Popis konštrukcie

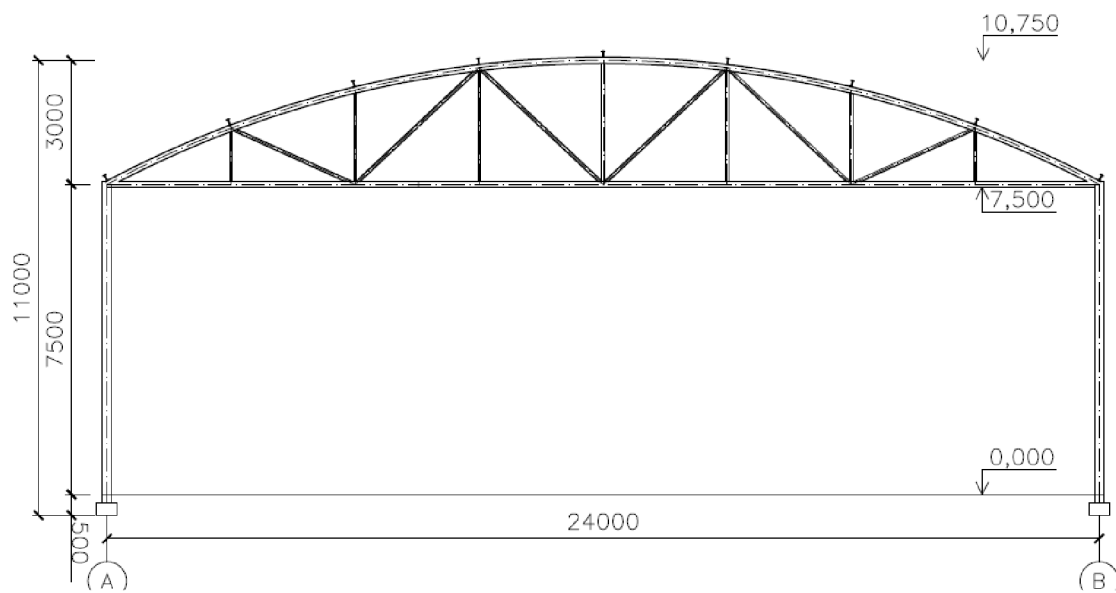
Práca sa zaoberá návrhom a posúdením nosnej oceľovej konštrukcie aquaparku v lokalite mesta Znojmo. Základné pôdorysné rozmery objektu sú 24x50 m. Priečne väzby sú po vzdialenosťach 5 m, ktoré sú spojené v pozdĺžnom smere väznicami, stužidlami a paždíkmi. Priestorová tuhosť konštrukcie je zaistená priečnymi a pozdĺžnymi stužidlami.

Priečna väzba je tvorená priehradovým väzníkom s oblúkovým horným pasom a vodovorným dolným pasom. Rozpetia väzníkov sú 24 m, 21 m, 18 m, ktoré sú klíbovo uložené na vetknutých stĺpoch. Plnostenne stĺpy výšky 8 m sú vetknuté v priečnom smere a klíbovo uložené v pozdĺžnom smere. Opláštenie strechy a stien je zhotovená pomocou sendvičových panelov od spoločnosti Kingspan. Pri návrhu sa vychádza z platných noriem ČSN.

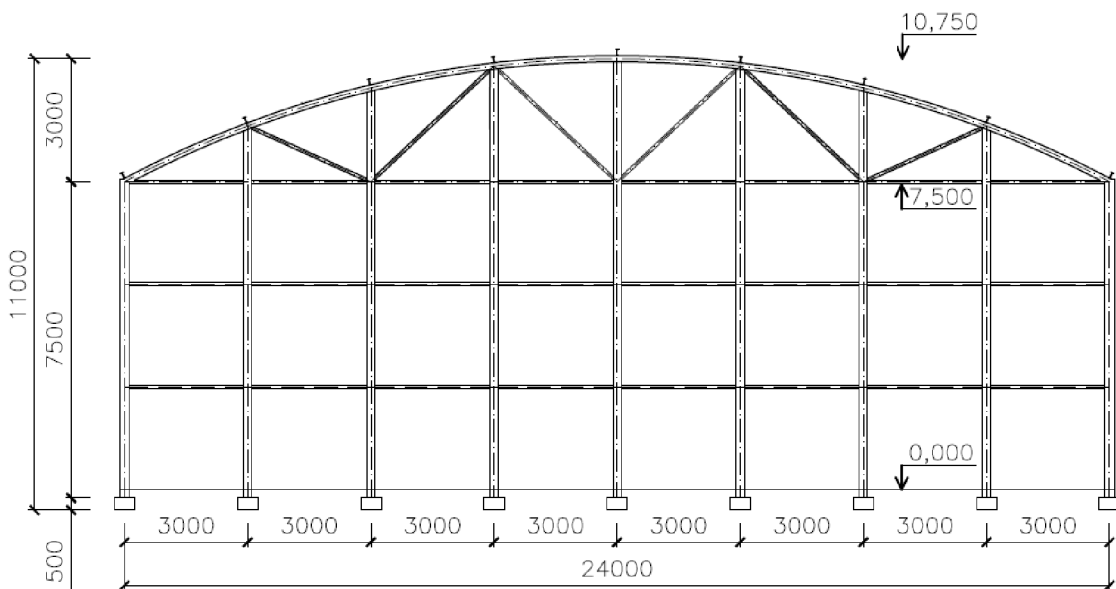
2 Geometria



Obr. 1: Schematický pôdorys



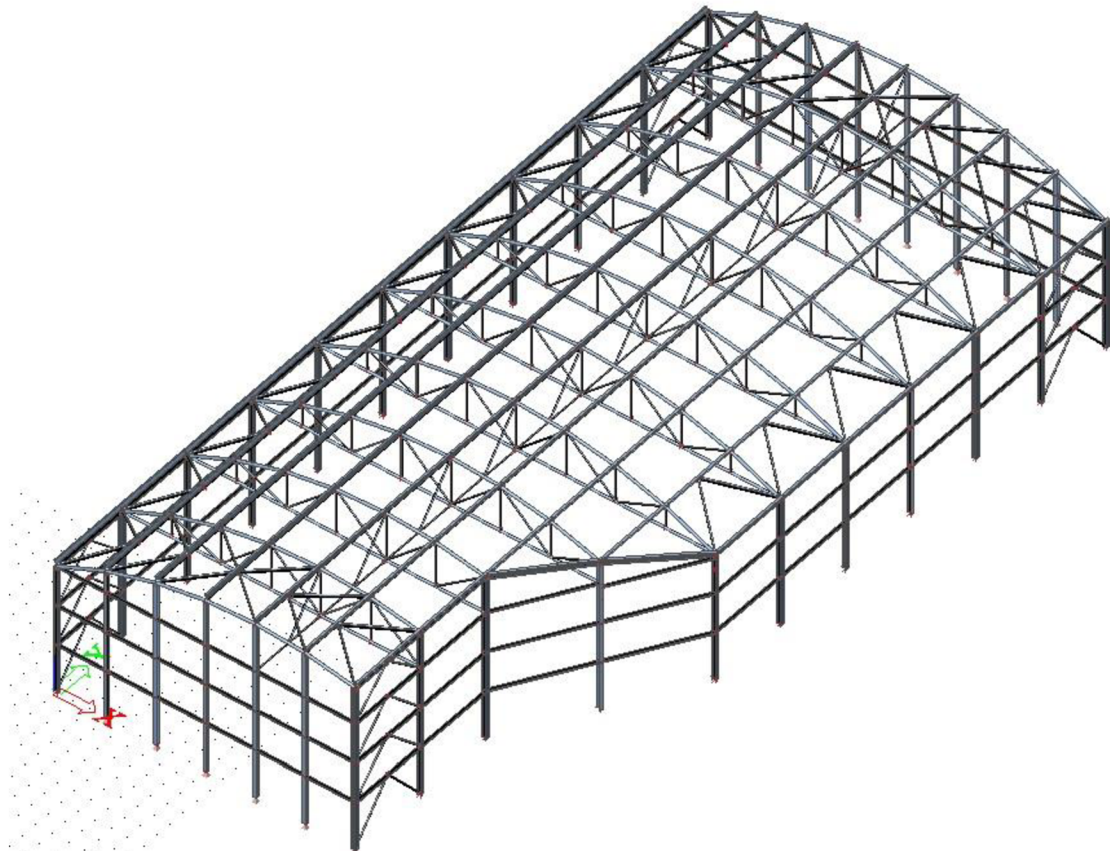
Obr. 2: Schematický priečny rez



Obr. 3: Schematická čelná stena

3 Výpočtový model

Prutový model priestorovej konštrukcie bol vytvorený v programe Scia. Model je riešený na základe konečných prvkov. Všetky krajné stĺpy haly sú vetknuté v priečnom smere. Čelné stĺpy haly sú uložené na kľbových podporách. Väzník je taktiež uložený kľovo na vetknutých stĺpoch. Všetky ostatné prvky väznice, paždíky, ztužidlá sú pripojené kľovo.



Obr. 4: Axonometria

4 Zaťaženie konštrukcie

Zaťaženie bolo spočítane podľa normy ČSN EN 1991 – Eurokód 1 a celkovo pozostáva z 9 zaťažovacích stavov.

ZS1 – vlastná tiaž

ZS2 – strešný plášť

ZS3 – TZB

ZS4 – sneh naviaty vľavo

ZS5 – sneh naviaty vpravo

ZS6 – pozdĺžny vietor

ZS7 – priečny vietor

ZS8 – osamelé bremeno

ZS9 – sneh plný

4.1 Zaťaženie stále

4.1.1 ZS1 Vlastná tiaž

Vlastná váha konštrukcie bola automaticky vygenerovaná v programe Scia.

4.1.2 ZS2 Strešný plášť

Strešný plášť tvoria izolačné panely Kingspan KS1000 TOP-DEK. Hrúbka panelu je 100 mm a hmotnosť $12,35 \text{ kgm}^{-2}$.

Zaťaženie na 1 m^2 :

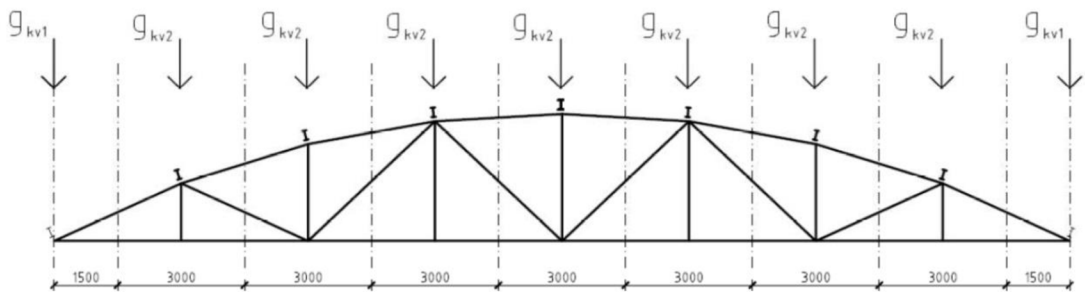
$$g_{k,s} = 0,1235 \text{ kN/m}^2$$

Zaťaženie na okapovú väznicu:

$$G_{kv1} = g_{k,s} \times Z\check{S} = 0,1235 \times 1,5 = 0,185 \text{ kN/m}$$

Zaťaženie na ostatné väznice:

$$G_{kv2} = g_{k,s} \times Z\check{S} = 0,1235 \times 3 = 0,371 \text{ kN/m}$$



Obr. 5: Roznos od strešného plášťa na väznice

4.1.3 ZS3 TZB

Hodnota zaťaženia od vplyvu TZB bola stanovená odhadom na 1 m^2 . Bodová sila pôsobí na spodnom páse v styčníkoch.

Zaťaženie na 1 m^2 :

$$g_{k,TZB} = 0,8 \text{ kN/m}^2$$

4.2 Zaťaženie premenné

4.2.1 ZS9 Sneh plný

Snehová oblasť I

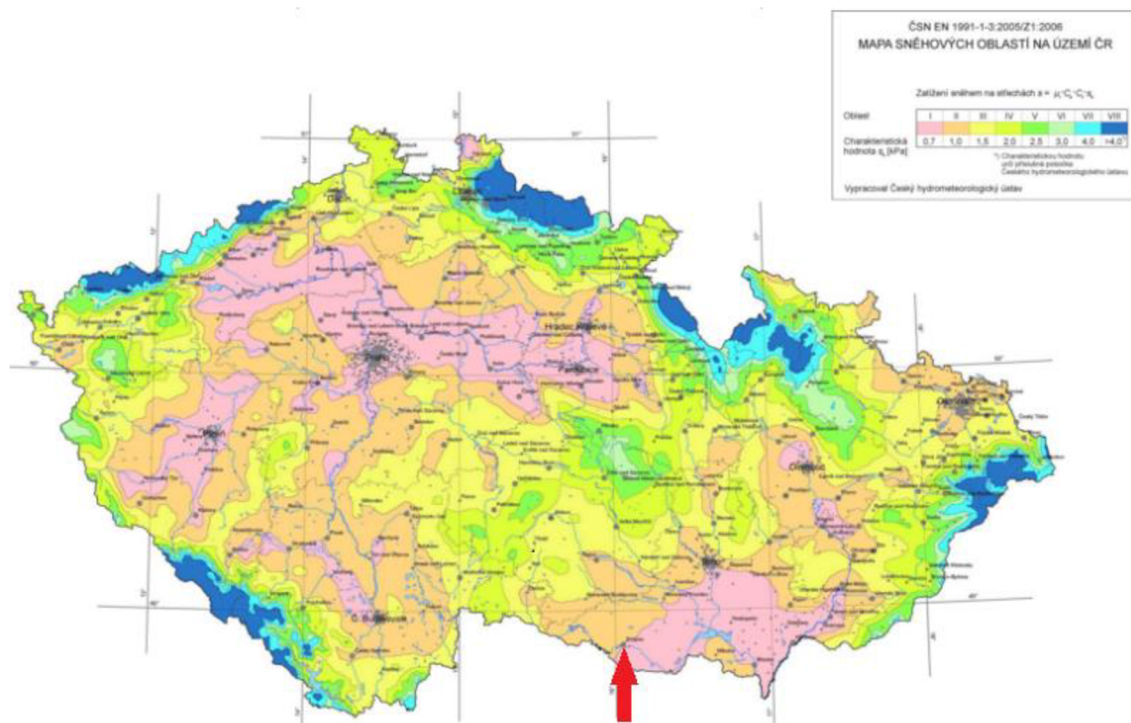
Charakteristická hodnota $s_k = 0,7 \text{ kN/m}^2$

Súčinieľ expozície $C_e = 0,8$

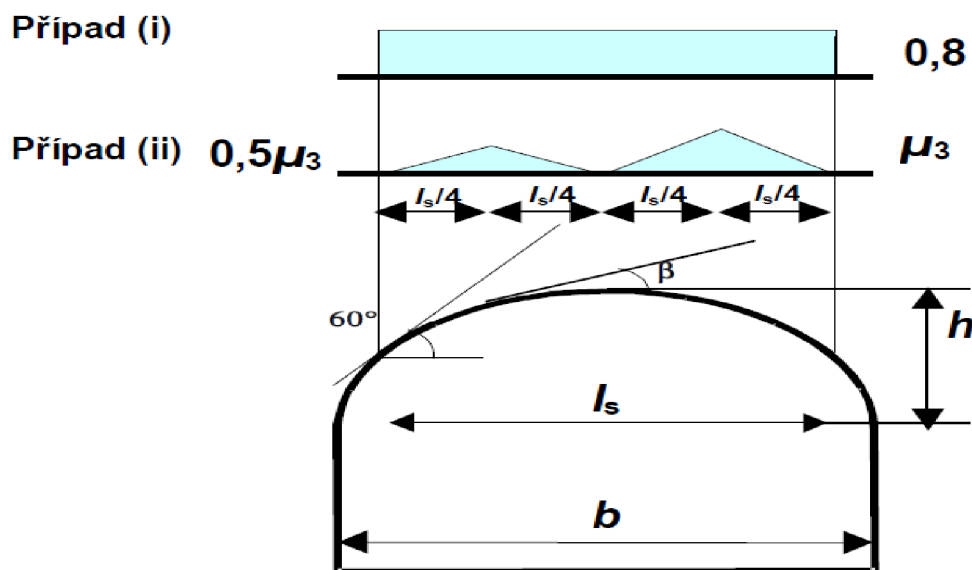
Teplotný súčinieľ $C_t = 1,0$

Tvarový súčinieľ $\mu_1 = 0,8$

$$\mu_3 = 0,2 + 10 \frac{h}{b} = 0,2 + 10 \frac{3}{24} = 1,45$$



Obr. 6: Mapa snehových oblastí ČR s vyznačením výstavby



Obr. 7: Tvarové súčinitele zaťaženia snehom

Výpočet plného snehu:

$$s = \mu_1 \times C_e \times C_t \times s_k = 0,8 \times 0,8 \times 1,0 \times 0,7 = 0,448 \text{ kN/m}^2$$

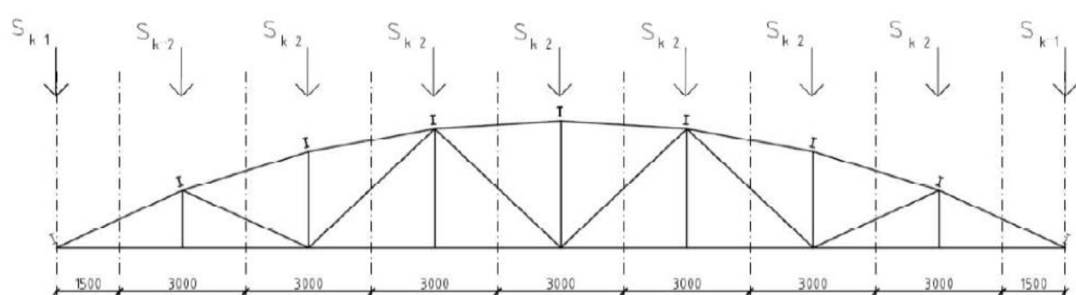
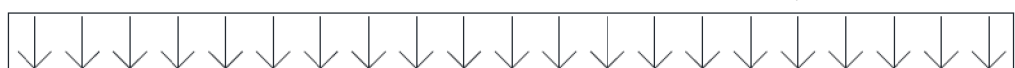
Zaťaženie na okapovú väznicu:

$$S_{k1} = s \times Z \check{S} = 0,448 \times 1,5 = 0,672 \text{ kN/m}$$

Zaťaženie na ostatné väznice:

$$S_{k2} = s \times Z \check{S} = 0,448 \times 3 = 1,344 \text{ kN/m}$$

$$s = 0,448 \text{ kN/m}^2$$



Obr. 8: Roznos plného snehu na väznicu

4.2.2 ZS4 Sneh naviaty vľavo

Výpočet naviateho snehu:

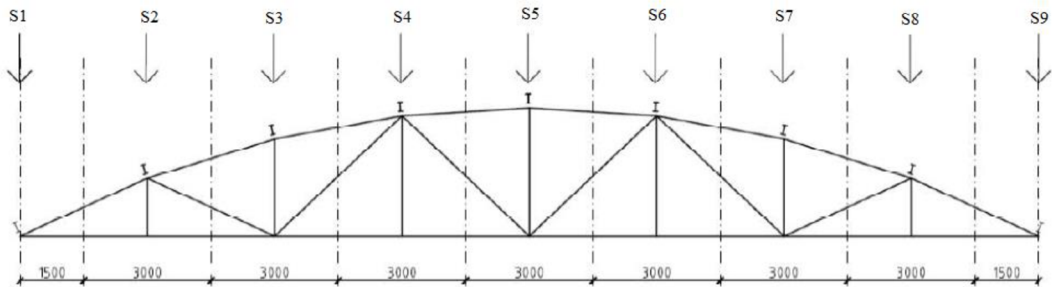
$$s_1 = \mu_3 \times C_e \times C_t \times s_k = 1,45 \times 0,8 \times 1,0 \times 0,7 = 0,812 \text{ kN/m}^2$$

$$s_2 = 0,5\mu_3 \times C_e \times C_t \times s_k = 0,8 \times 0,8 \times 1,0 \times 0,7 = 0,406 \text{ kN/m}^2$$

$$s_1 = 0,812 \text{ kN/m}^2$$

$$s_2 = 0,406 \text{ kN/m}^2$$





Obr. 9: Roznos snehu naviateho vľavo

Prvok	S1	S2	S3	S4	S5	S6	S7	S8	S9
ZŠ [m]	1,5	3	3	3	3	3	3	3	1,5
s [kN/m]	0,19	1,53	2,61	1,53	0,28	0,77	1,53	0,77	0,1

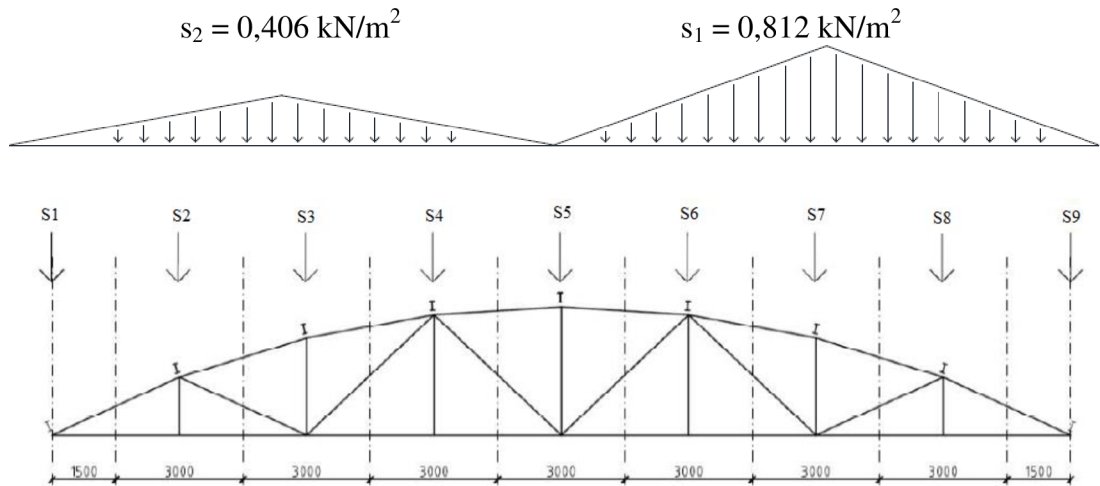
Tab. 1: Zaťaženie naviatym snehom vľavo

4.2.3 ZS5 Sneh naviaty vpravo

Výpočet naviateho snehu:

$$s_1 = \mu_3 \times C_e \times C_t \times s_k = 1,45 \times 0,8 \times 1,0 \times 0,7 = 0,812 \text{ kN/m}^2$$

$$s_2 = 0,5\mu_3 \times C_e \times C_t \times s_k = 0,8 \times 0,8 \times 1,0 \times 0,7 = 0,406 \text{ kN/m}$$



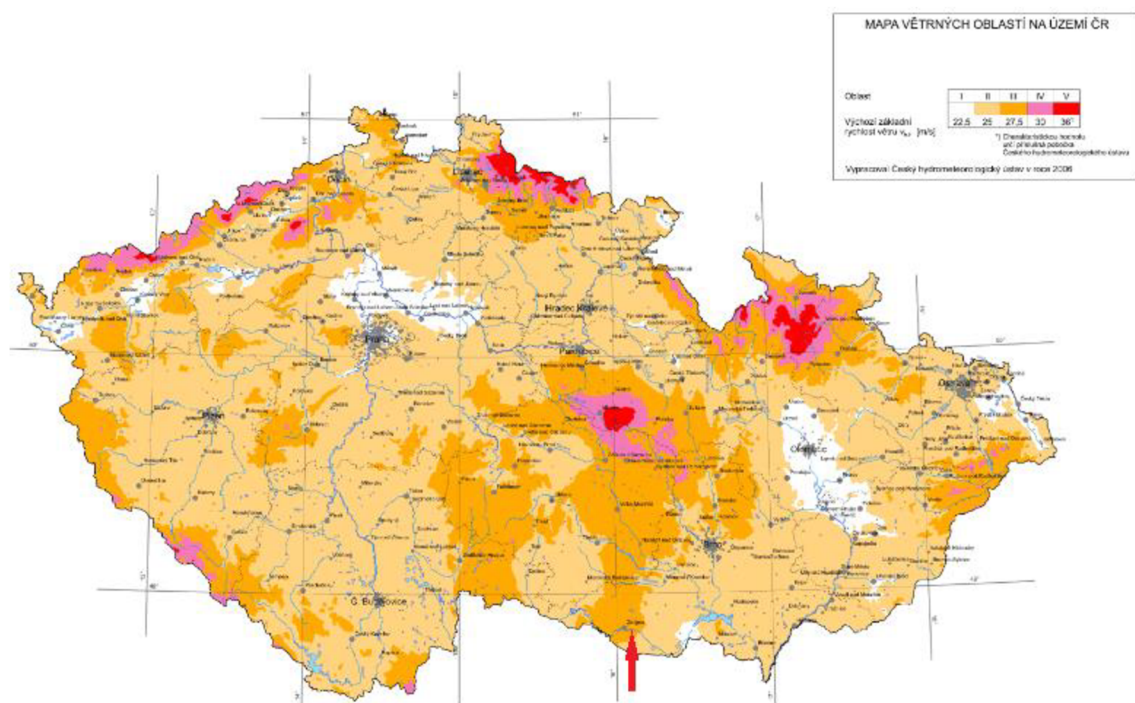
Obr. 10: Roznos snehu naviateho vpravo

Prvok	S1	S2	S3	S4	S5	S6	S7	S8	S9
ZŠ [m]	1,5	3	3	3	3	3	3	3	1,5
s [kN/m]	0,1	0,77	1,53	0,77	0,28	1,53	2,61	1,53	0,19

Tab. 2: Zaťaženie naviatym snehom vpravo

4.2.4 ZS6 Pozdĺžny vietor

Veterná oblasť III



Obr. 11: Mapa veterních oblastí ČR s vyznačením výstavby

Základná rýchlosť vetra podľa oblasti: $v_{b,0} = 27,5 \text{ m/s}$

Súčinieľ smeru vetra: $c_{dir} = 1,0$

Súčinieľ ročného obdobia: $c_{season} = 1,0$

Základná rýchlosť vetra:

$$V_b = c_{dir} \times c_{season} \times v_{b,0} = 1,0 \times 1,0 \times 27,5 = 27,5 \text{ m/s}$$

Parameter drsnosti terénu: $z_0 = 0,3$

Minimálna výška: $z_{\min} = 5 \text{ m}$

Maximálna výška: $z_{\max} = 200 \text{ m}$

Súčiniteľ orografie $c_{o(z)} = 1,0$

$$\text{Drsnosť terénu : } c_r(z) = k_r \times \ln\left(\frac{\max(z_e; z_{\min})}{z_0}\right) = 0,215 \times \ln\left(\frac{11}{0,3}\right) = 0,776$$

$$k_r = 0,19 \times \left(\frac{z_0}{z_{0,II}}\right)^{0,07} = 0,19 \times \left(\frac{0,3}{0,05}\right)^{0,07} = 0,215$$

$$z_e = h + f = 8 + 3 = 11 \text{ m}$$

Stredná rýchlosť vetra:

$$V_{m(z)} = c_{r(z)} \times c_{o(z)} \times v_{b,0} = 0,776 \times 1 \times 27,5 = 21,34 \text{ m/s}$$

Turbulencia vetra:

$$I_{v(z)} = \frac{k_1}{c_{o(z)} \times \ln\left(\frac{z}{z_0}\right)} = \frac{1,0}{1 \times \ln\frac{11}{0,3}} = 0,28$$

Súčiniteľ expozície:

$$c_{e(z_0)} = [1 + 7 \times I_{v(z)}] \times c_{r(z)}^2 \times c_{o(z)}^2 = [1 + 7 \times 0,28] \times 0,776^2 \times 1,0^2 = 1,782$$

$$q_{p(z)} = [1 + 7 \times I_{v(z)}] \times \frac{1}{2} \times \rho \times V_{m(z)}^2 = [1 + 7 \times 0,28] \times 0,5 \times 1,25 \times 21,34^2 = 0,843 \text{ kN/m}^2$$

Zatáženie na pozdĺžnu stenu

$$b = 24 \text{ m}$$

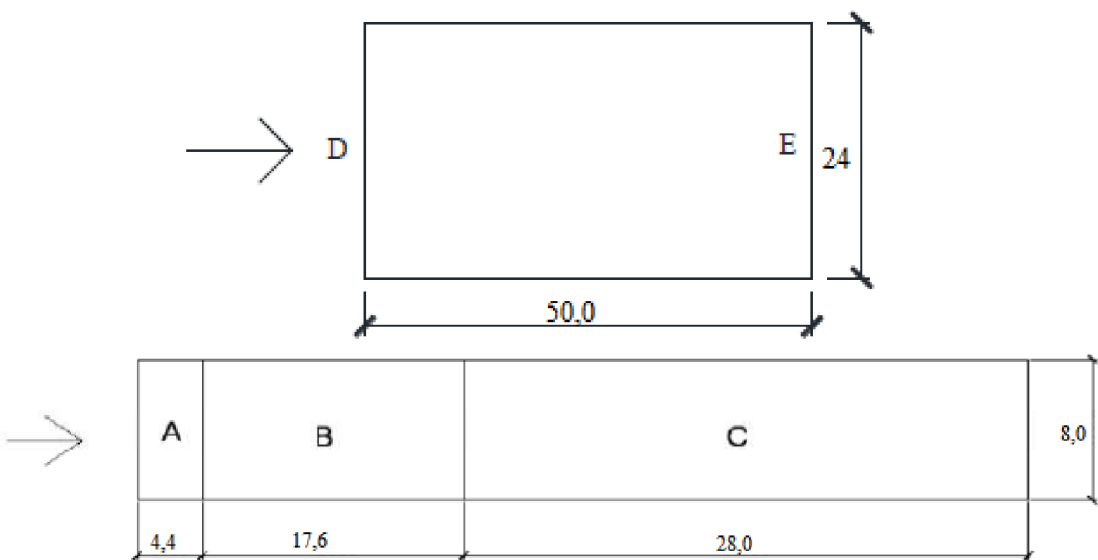
$$d = 50 \text{ m}$$

$$h = 11 \text{ m}$$

$$e = \min(b; 2h) = \min(24; 2 \times 11) = 22 \text{ m}$$

$$e < d = 22 \text{ m} < 50 \text{ m}$$

$$\frac{h}{d} = \frac{11}{50} = 0,22$$



Obr. 12: Zaťaženie od pozdĺžneho vetra na pozdĺžne a čelné steny

Tlak vetra:

$$w_e = q_{p(z)} \times c_{pe}$$

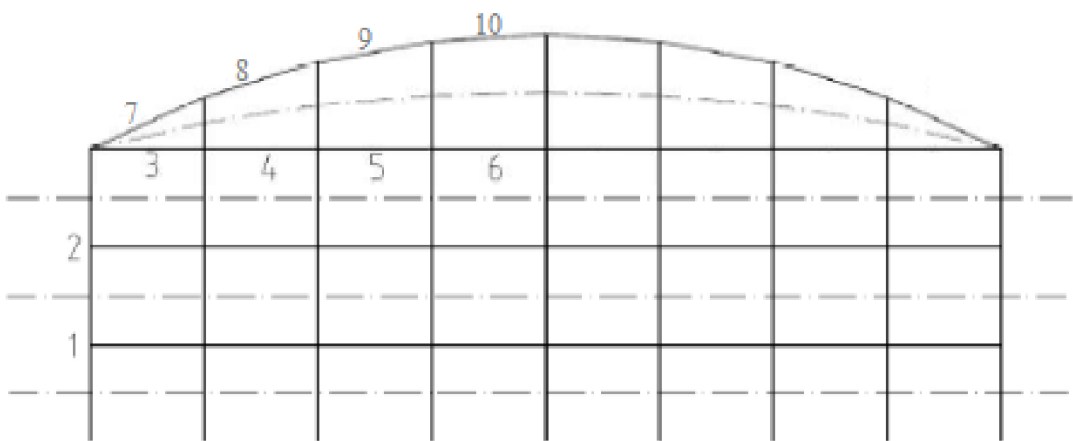
$$w_{e,A} = 0,843 \times (-1,2) = - 1,012 \text{ kPa}$$

$$w_{e,B} = 0,843 \times (-0,8) = - 0,674 \text{ kPa}$$

$$w_{e,C} = 0,843 \times (-0,5) = - 0,422 \text{ kPa}$$

$$w_{e,D} = 0,843 \times 0,7 = - 0,590 \text{ kPa}$$

$$w_{e,E} = 0,843 \times (-0,3) = - 0,253 \text{ kPa}$$



Obr. 13: Schéma zaťaženia paždíkov od pozdĺžneho vetra

Prut	1A	2A	3A	1B	2B	3B	1C	2C	3C	1D
ZŠ	2,750	2,500	1,250	2,750	2,500	1,250	2,750	2,500	1,250	2,750
We [kN/m ²]	-1,012	-1,012	-1,012	-0,674	-0,674	-0,674	-0,422	-0,422	-0,422	0,590
Wep [kN/m]	-2,783	-2,530	-1,265	-1,854	-1,685	-0,843	-1,161	-1,055	-0,528	1,623

Prut	2D	3D	4D	5D	6D	7D	8D	9D	10D	1E
ZŠ	2,500	1,900	2,373	2,650	2,742	0,715	1,160	1,423	1,498	2,750
We [kN/m ²]	0,590	0,590	0,590	0,590	0,590	0,590	0,590	0,590	0,590	-0,300
Wep [kN/m]	1,475	1,121	1,400	1,564	1,618	0,422	0,684	0,840	0,884	-0,825

Prut	2E	3E	4E	5E	6E	7E	8E	9E	10E
ZŠ	2,500	1,900	2,373	2,650	2,742	0,715	1,160	1,423	1,498
We [kN/m ²]	-0,300	-0,300	-0,300	-0,300	-0,300	-0,300	-0,300	-0,300	-0,300
Wep [kN/m]	-0,750	-0,570	-0,712	-0,795	-0,823	-0,215	-0,348	-0,427	-0,449

Tab. 3: Zaťaženie od pozdĺžneho vetra na paždíky čelnej a pozdĺžnej steny

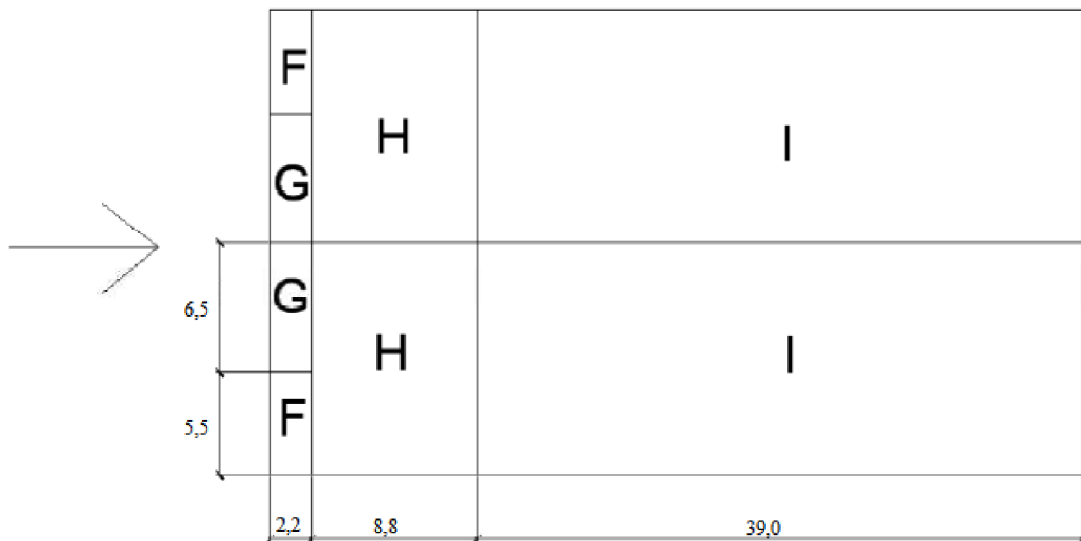
Zaťaženie na strechu

$$b = 24 \text{ m}$$

$$d = 50 \text{ m}$$

$$h = 11 \text{ m}$$

$$e = \min(b; 2h) = \min(24; 2 \times 11) = 22 \text{ m}$$



Obr. 14: Zaťaženie od pozdĺžneho vetra na strechu

Tlak vetra:

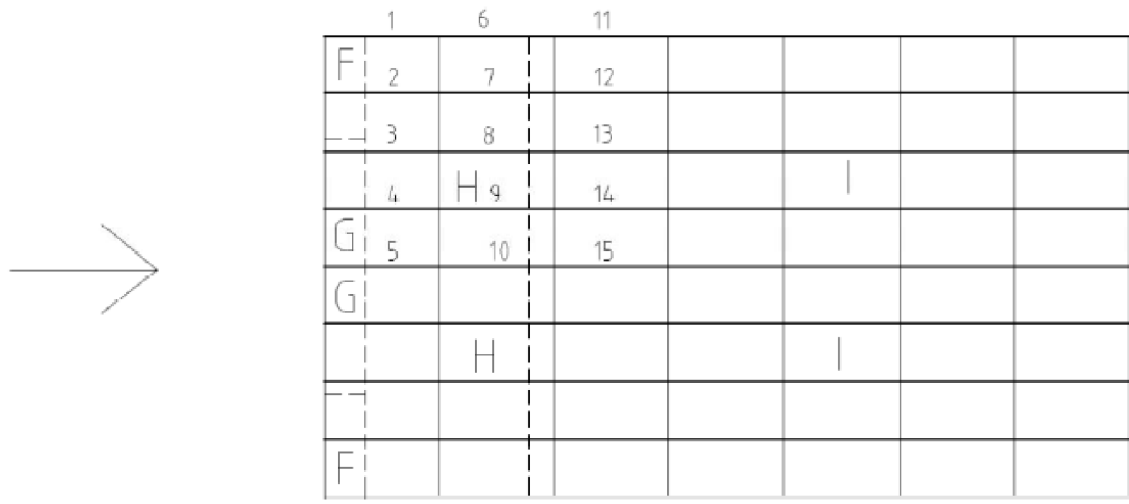
$$w_e = q_{p(z)} \times c_{pe}$$

$$w_{e,F} = 0,843 \times (-1,4) = -1,18 \text{ kPa}$$

$$w_{e,G} = 0,843 \times (-1,3) = -1,096 \text{ kPa}$$

$$w_{e,H} = 0,843 \times (-0,63) = -0,531 \text{ kPa}$$

$$w_{e,I} = 0,843 \times (-0,53) = -0,447 \text{ kPa}$$



Obr. 15: Schéma zaťaženia väzníc od pozdĺžného vetra

Vaznice	Oblast	ZŠ [m]	we [m]	we,p [kN/m]
1	F	1,67	-1,18	-1,971
	H	1,67	-0,531	-0,887
2	F	3,21	-1,18	-3,788
	H	3,21	-0,531	-1,705
3	FG	0,89+2,2	1,18+(-1,096)	-3,461
	H	3,09	-0,531	-1,641
4	G	3,02	-1,096	-3,310
	H	3,02	-0,531	-1,604
5	G	3,00	-1,096	-3,288
	H	3,00	-0,531	-1,593
6	H	1,67	-1,18	-1,971
7	H	3,21	-1,18	-3,788
8	H	3,09	-1,18	-3,646
9	H	3,02	-1,18	-3,564
10	H	3,00	-1,18	-3,540
11	H	1,67	-1,18	-1,971
	I	1,67	-0,447	-0,746
12	H	3,21	-1,18	-3,788
	I	3,21	-0,447	-1,435
13	H	3,09	-1,18	-3,646
	I	3,09	-0,447	-1,381
14	H	3,02	-1,18	-3,564
	I	3,02	-0,447	-1,350
15	H	3,00	-1,18	-3,540
	I	3,00	-0,447	-1,341

Tab. 4: Zaťaženie od pozdĺžného vetra na väznice

4.2.5 ZS7 Priečny vietor

Zaťaženie na stenu

$$b = 50 \text{ m}$$

$$d = 24 \text{ m}$$

$$h = 11 \text{ m}$$

$$e = \min(b; 2h) = \min(24; 2 \times 11) = 22 \text{ m}$$

$$e < d = 22 \text{ m} < 24 \text{ m}$$

$$\frac{h}{d} = \frac{11}{24} = 0,458$$

Tlak vetra:

$$w_e = q_{p(z)} \times c_{pe}$$

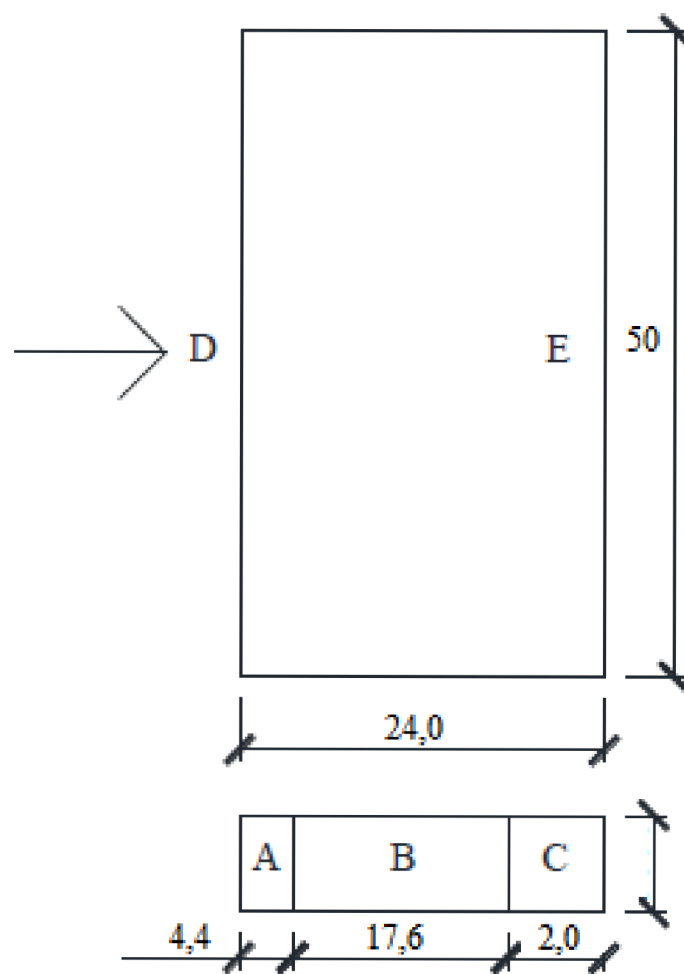
$$w_{e,A} = 0,843 \times (-1,2) = -1,012 \text{ kPa}$$

$$w_{e,B} = 0,843 \times (-0,8) = -0,674 \text{ kPa}$$

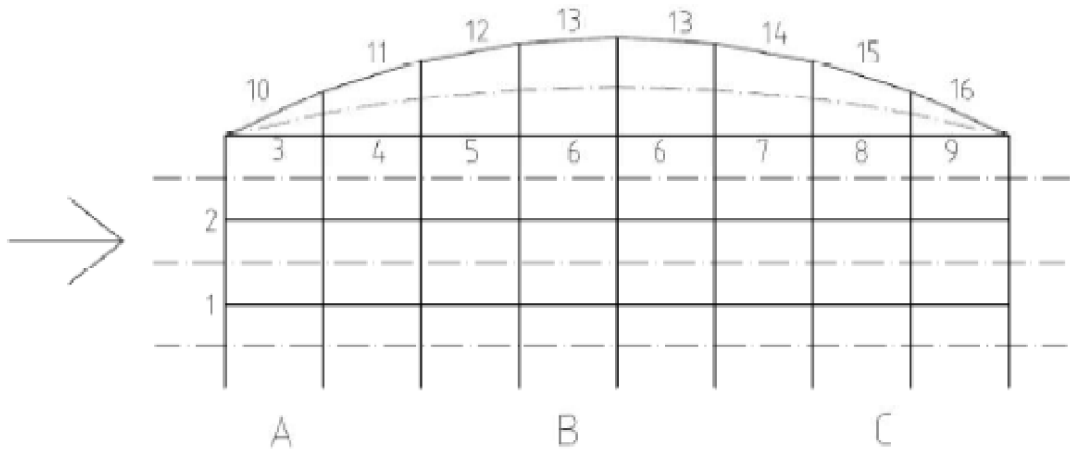
$$w_{e,C} = 0,843 \times (-0,5) = -0,422 \text{ kPa}$$

$$w_{e,D} = 0,843 \times 0,73 = +0,615 \text{ kPa}$$

$$w_{e,E} = 0,843 \times (-0,36) = -0,303 \text{ kPa}$$



Obr. 16: Táčaženie od priečneho vetra na čelné a bočné steny



Obr. 17: Schéma zaťaženia paždíkov od priečneho vetra

Prut	1A	1A+1B	1B+1C	2A	2A+2B	2B+2C	3A
ZŠ	2,750	2,750	2,750	2,500	2,500	2,500	1,900
We [kN/m ²]	-1,012	1,012;-0,674	0,674;-0,422	-1,012	1,012;-0,674	0,674;-0,422	-1,012
Wep [kN/m]	-2,783	2,783;-1,854	1,854;-1,161	-2,530	2,53;-1,685	1,685;-1,055	-1,923

4A+4B	5B	6B	7B	8B	9B+9C	10A	11A+11B	12B
(2,313+2,488)	2,650	2,650	2,650	2,650	(0,49+0,413)	0,715	(1,101+1,276)	1,423
1,012;-0,674	-0,674	-0,674	-0,674	-0,674	0,674;-0,422	-1,012	1,012;-0,674	-0,674
2,34;-1,677	-1,786	-1,786	-1,786	-1,786	0,330;-0,174	-0,724	1,114;-0,860	-0,959

13B	14B	15B	16B+16C	1D	2D	3D	1E	2E	3E
1,498	1,423	1,160	(0,35+0,243)	2,750	2,500	1,250	2,750	2,500	1,250
-0,674	-0,674	-0,674	0,674;-0,422	0,615	0,615	0,615	-0,303	-0,303	-0,303
-1,010	-0,959	-0,782	0,236;-0,103	1,691	1,538	0,769	-0,833	-0,758	-0,379

Tab. 5: Zataženie od priečneho vetra na paždiky

Zaťaženie na strechu

$$h = 8 \text{ m}$$

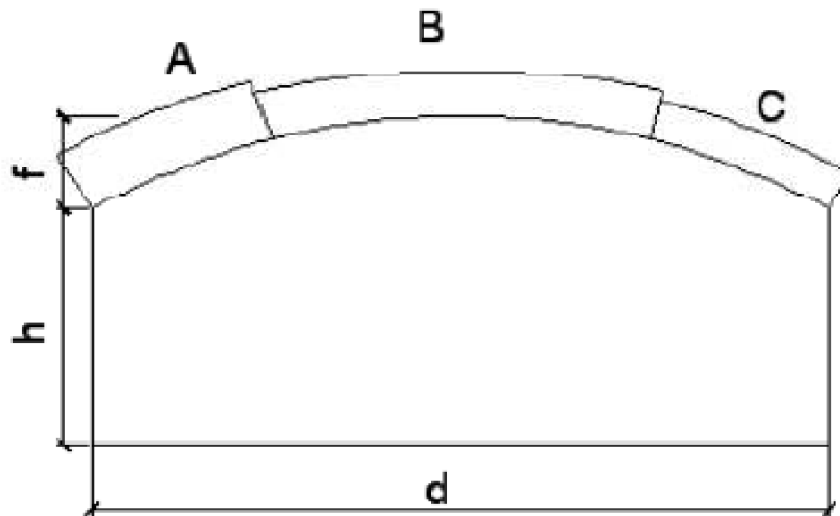
$$f = 3 \text{ m}$$

$$d = 24 \text{ m}$$

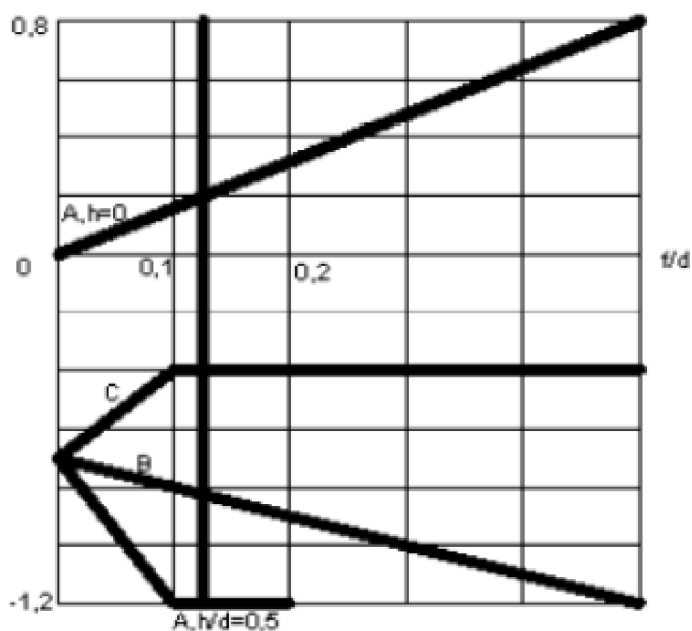
$$l = 50 \text{ m}$$

$$\frac{h}{d} = \frac{8}{24} = 0,333$$

$$\frac{f}{d} = \frac{3,5}{24} = 0,146$$



Obr. 18: Schéma pôsobenia vetra na strechu



Obr. 19: Súčinitele vonkajšieho tlaku pre valcovú strechu

Tlak vetra:

$$w_e = q_{p(z)} \times c_{pe}$$

$$w_{e,A} = 0,843 \times (-0,733) = -0,618 \text{ kPa}$$

$$w_{e,B} = 0,843 \times (-0,832) = -0,702 \text{ kPa}$$

$$w_{e,C} = 0,843 \times (-0,4) = -0,338 \text{ kPa}$$

Prut	1A	2A	3A+3B	4B	5B	6B	7B+7C
ZŠ	1,672	3,210	1,378+1,716	3,023	3,002	3,023	1,716+1,378
We [kN/m ²]	-0,618	-0,618	-0,618-0,702	-0,702	-0,702	-0,702	-0,702-0,338
Wep [kN/m]	-1,033	-1,984	-2,056	-2,122	-2,107	-2,122	1,671

8C	9C
3,210	1,672
-0,338	-0,338
-1,085	-0,565

Tab. 6: Zaťaženie od priečneho vetra na väznicie

4.2.6 ZS8 Osamelé bremeno

Strecha konštrukcie patrí do kategórie H tzn. strechy neprístupné s výnimkou bežnej údržby alebo oprav. Veľkosť zaťaženia $Q_k = 1,0 \text{ kN}$.

4.3 Kombinácie zatáženia

1	LC1*1,00 +LC2*1,00 +LC7*1,50 +LC9*1,00
2	LC1*1,35 +LC2*1,35 +LC3*1,50 +LC7*0,90 +LC9*1,35
3	LC1*1,35 +LC2*1,35 +LC3*1,50 +LC9*1,35
4	LC1*1,35 +LC2*1,35 +LC3*0,75 +LC7*1,50 +LC9*1,35
5	LC1*1,35 +LC2*1,35 +LC3*1,50 +LC6*0,90 +LC9*1,35
6	LC1*1,35 +LC2*1,35 +LC4*0,75 +LC7*1,50 +LC9*1,35
7	LC1*1,00 +LC2*1,00 +LC3*0,75 +LC7*1,50 +LC9*1,00
8	LC1*1,35 +LC2*1,35 +LC4*1,50 +LC9*1,35
9	LC1*1,00 +LC2*1,00 +LC6*1,50 +LC9*1,00
10	LC1*1,00 +LC2*1,00 +LC5*0,75 +LC7*1,50 +LC9*1,00
11	LC1*1,35 +LC2*1,35 +LC4*0,75 +LC6*1,50 +LC9*1,35
12	LC1*1,35 +LC2*1,35 +LC3*0,75 +LC6*1,50 +LC9*1,35
13	LC1*1,00 +LC2*1,00 +LC3*1,50 +LC9*1,00
14	LC1*1,35 +LC2*1,35 +LC6*1,50 +LC9*1,35
15	LC1*1,35 +LC2*1,35 +LC7*1,50 +LC9*1,35
16	LC1*1,00 +LC2*1,00 +LC8*1,50 +LC9*1,00
17	LC1*1,35 +LC2*1,35 +LC4*1,50 +LC7*0,90 +LC9*1,35
18	LC1*1,00 +LC2*1,00 +LC5*0,75 +LC6*1,50 +LC9*1,00
19	LC1*1,35 +LC2*1,35 +LC5*1,50 +LC9*1,35
20	LC1*1,35 +LC2*1,35 +LC5*0,75 +LC7*1,50 +LC9*1,35
21	LC1*1,00 +LC2*1,00 +LC4*1,50 +LC6*0,90 +LC9*1,00
22	LC1*1,35 +LC2*1,35 +LC5*0,75 +LC6*1,50 +LC9*1,35
23	LC1*1,00 +LC2*1,00 +LC9*1,00
24	LC1*1,35 +LC2*1,35 +LC4*1,50 +LC6*0,90 +LC9*1,35
25	LC1*1,00 +LC2*1,00 +LC3*1,50 +LC7*0,90 +LC9*1,00
26	LC1*1,00 +LC2*1,00 +LC5*1,50 +LC9*1,00
27	LC1*1,35 +LC2*1,35 +LC5*1,50 +LC7*0,90 +LC9*1,35
28	LC1*1,00 +LC2*1,00 +LC4*0,75 +LC6*1,50 +LC9*1,00
29	LC1*1,00 +LC2*1,00 +LC3*0,50 +LC7*1,00 +LC9*1,00
30	LC1*1,00 +LC2*1,00 +LC4*1,00 +LC9*1,00
31	LC1*1,00 +LC2*1,00 +LC3*1,00 +LC9*1,00
32	LC1*1,00 +LC2*1,00 +LC6*1,00 +LC9*1,00
33	LC1*1,00 +LC2*1,00 +LC7*1,00 +LC9*1,00
34	LC1*1,00 +LC2*1,00 +LC5*0,50 +LC7*1,00 +LC9*1,00
35	LC1*1,00 +LC2*1,00 +LC4*0,50 +LC6*1,00 +LC9*1,00
36	LC1*1,00 +LC2*1,00 +LC3*0,50 +LC6*1,00 +LC9*1,00
37	LC1*1,00 +LC2*1,00 +LC3*1,00 +LC6*0,60 +LC9*1,00
38	LC1*1,00 +LC2*1,00 +LC3*1,00 +LC7*0,60 +LC9*1,00
39	LC1*1,00 +LC2*1,00 +LC8*1,00 +LC9*1,00
40	LC1*1,00 +LC2*1,00 +LC4*1,00 +LC7*0,60 +LC9*1,00
41	LC1*1,00 +LC2*1,00 +LC5*1,00 +LC9*1,00
42	LC1*1,00 +LC2*1,00 +LC4*0,50 +LC7*1,00 +LC9*1,00
43	LC1*1,00 +LC2*1,00 +LC4*1,00 +LC6*0,60 +LC9*1,00
44	LC1*1,00 +LC2*1,00 +LC5*0,50 +LC6*1,00 +LC9*1,00
45	LC1*1,00 +LC2*1,00 +LC5*1,00 +LC7*0,60 +LC9*1,00
46	LC1*1,35 +LC2*1,35 +LC9*1,35
47	LC1*1,00 +LC2*1,00 +LC3*0,75 +LC6*1,50 +LC9*1,00
48	LC1*1,35 +LC2*1,35 +LC5*1,50 +LC6*0,90 +LC9*1,35
49	LC1*1,35 +LC2*1,35 +LC8*1,50 +LC9*1,35

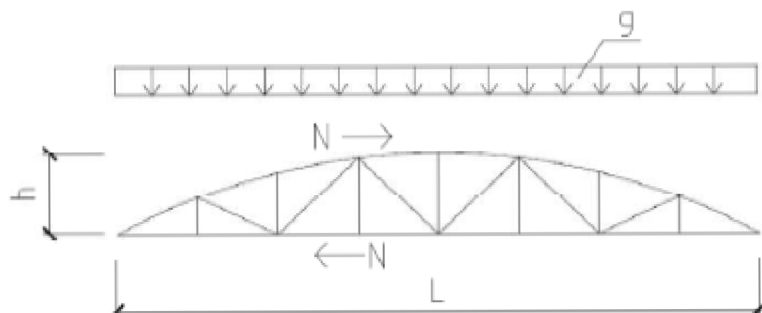
Obr. 20: Klúč kombinácií z programu

5 Vnútorné sily

Vnútorné sily boli spočítane pomocou programu Scia a sú uvedené v prílohe E.

5.1 Kontrola výsledkov

Kontrola vnútorných síl sa preverí od zaťaženia neneviateho snehu.



Obr. 21: Zaťaženie plným snehom

$$h = 3 \text{ m}$$

$$L = 24 \text{ m}$$

$$M = 1/8 \times gl^2 = 1/8 \times 4 \times 24^2 = 288 \text{ kN/m}$$

$$N = M/h = 288 / 3 = 96 \text{ kN/m}$$

Výsledky z programu Scia: $N = 95,77 \text{ kN} - 99,69 \text{ kN}$

6 Medzný stav únosnosti

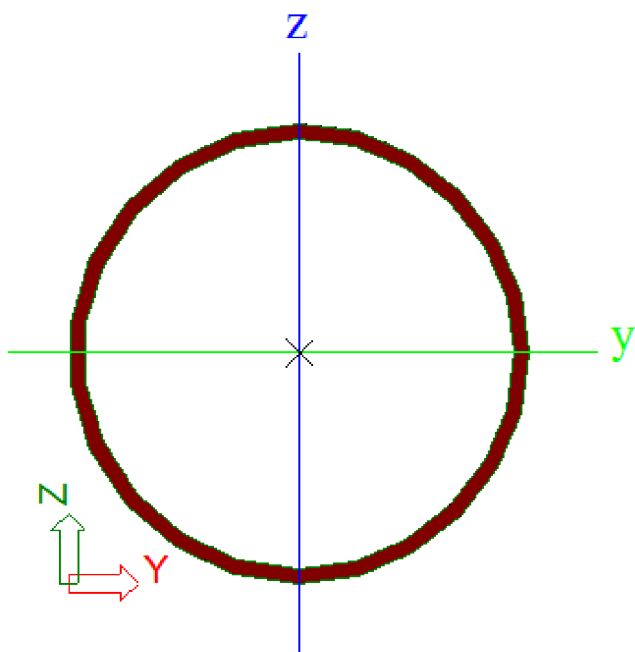
6.1 Horný pás

6.1.1 Materiálové a prierezové charakteristiky

Ocel: S235

$$f_y = 235 \text{ MPa} \quad E = 210 \text{ GPa}$$

$$f_u = 360 \text{ MPa} \quad G = 81 \text{ GPa}$$



Obr. 22: TR Ø 152,4 X 5

$$A = 2,32 \times 10^{-3} \text{ m}^2$$

$$I_y = I_z = 6,3 \times 10^{-6} \text{ m}^4$$

$$W_{pl,y} = W_{pl,z} = 1,0863 \times 10^{-4} \text{ m}^3$$

Klasifikácia prierezu:

$$\varepsilon = \sqrt{\frac{235}{f_y}} = \sqrt{\frac{235}{235}} = 1,00$$

$$\frac{c}{t} = \frac{152,4}{5} = 30,48 \leq 50\varepsilon^2 = 50 \rightarrow \text{trieda 1}$$

6.1.2 Vnútorné sily

Kombinácia CO 1/6, prut B191

$$N_{Ed} = -324,93 \text{ kN}$$

$$V_{z,Ed} = 1,16 \text{ kN}$$

$$M_{y,Ed} = 0,00 \text{ kNm}$$

$$V_{y,Ed} = 0,04 \text{ kN}$$

$$M_{z,Ed} = 0,33 \text{ kNm}$$

$$T_{Ed} = 0,00 \text{ kN}$$

6.1.3 Posudok na tlak

$$\frac{N_{Ed}}{N_{C,Rd}} \leq 1,00$$

$$N_{c,Rd} = \frac{A \times f_y}{\gamma_{M0}} = \frac{2,32 \times 10^{-3} \times 235 \times 10^3}{1,00} = 545,2 \text{ kN}$$

$$\frac{N_{Ed}}{N_{C,Rd}} = \frac{324,93}{545,5} = 0,6 \leq 1,00 \Rightarrow \mathbf{VYHOVUJE}$$

6.1.4 Posudok ohybového momentu

$$\frac{M_{Ed}}{M_{C,Rd}} \leq 1,00$$

$$M_{c,Rd} = M_{pl,Rd} = \frac{W_{pl} \times f_y}{\gamma_{M0}} = \frac{1,0863 \times 10^{-3} \times 235 \times 10^3}{1,00} = 25,53 \text{ kNm}$$

$$\frac{M_{Ed}}{M_{C,Rd}} = \frac{0,33}{25,53} = 0,01 \leq 1,00 \Rightarrow \mathbf{VYHOVUJE}$$

6.1.5 Posudok rovinného vzperu

$$\frac{N_{Ed}}{N_{b,Rd}} \leq 1,00$$

Vzperné dĺžky:

$$L_{cr,y} = L_{cr,z} = \beta \times L = 1 \times 3,293 = 3,293 \text{ m}$$

Kritická sila:

$$N_{cr,z} = \frac{\pi^2 \times E \times I_z}{L_{cr,z}^2} = \frac{\pi^2 \times 210 \times 10^6 \times 6,3 \times 10^{-6}}{3,293^2} = 1203,8 \text{ kN}$$

Pomerná štíhlosť:

$$\lambda_z = \sqrt{\frac{A \times f_y}{N_{cr,z}}} = \sqrt{\frac{2,32 \times 10^{-3} \times 235 \times 10^3}{1203,8}} = 0,67$$

Súčinitel vzpernosti:

$$\chi_z = \frac{1}{\Phi_z + \sqrt{\Phi_z^2 - \lambda z^2}} = \frac{1}{\Phi_z + \sqrt{\Phi_z^2 - \lambda z^2}} = 0,86$$

$$\Phi_z = 0,5 \times [1 + \alpha \times (\lambda_z - 0,2) + \lambda_z^2] = 0,5 \times [1 + 0,21 \times (0,67-0,2) + 0,67^2] = 0,774$$

$$N_{b,Rd} = \frac{\chi_z \times A \times f_y}{\gamma_{M0}} = \frac{0,86 \times 2,32 \times 10^{-3} \times 235 \times 10^3}{1,00} = 468,91 \text{ kN}$$

$$\frac{N_{Ed}}{N_{b,Rd}} = \frac{324,93}{468,91} = 0,69 \Rightarrow \mathbf{VYHOVUJE}$$

6.1.6 Posudok ohybu a osového tlaku

$$\frac{\frac{N_{Ed}}{\chi_y \times N_{Rk}} + k_{yy} \times \frac{M_{y,Ed} + \Delta M_{y,Ed}}{\chi_{LT} \times M_{y,Rk}}}{\gamma_{M1}} + k_{yz} \times \frac{M_{z,Ed} + \Delta M_{z,Ed}}{\chi_{LT} \times M_{z,Rk}} \leq 1,00$$

$$\frac{\frac{N_{Ed}}{\chi_z \times N_{Rk}} + k_{zy} \times \frac{M_{y,Ed} + \Delta M_{y,Ed}}{\chi_{LT} \times M_{y,Rk}}}{\gamma_{M1}} + k_{zz} \times \frac{M_{z,Ed} + \Delta M_{z,Ed}}{\chi_{LT} \times M_{z,Rk}} \leq 1,00$$

$$N_{Rk} = A \times f_y = 2,32 \times 10^{-3} \times 235 \times 10^3 = 545,2 \text{ kN}$$

$$M_{y,,Rk} = M_{z,,Rk} = W_{pl} \times f_y = 1,0863 \times 10^{-3} \times 235 \times 10^3 = 25,53 \text{ kNm}$$

$$\chi_{LT} = 1,00 \quad C_{m,y} = 0,9$$

$$k_{yy} = C_{m,y} \left(1 + (\lambda_y - 0,2) \frac{N_{Ed}}{\chi_y \times N_{Rk}/\gamma_{M1}} \right) \leq C_{m,y} \left(1 + 0,8 \frac{N_{Ed}}{\chi_y \times N_{Rk}/\gamma_{M1}} \right)$$

$$k_{yy} = 0,9 \left(1 + (0,67 - 0,2) \frac{324,93}{0,86 \times 545,2/1,0} \right) \leq 0,9 \left(1 + 0,8 \frac{324,93}{0,86 \times 545,2/1,0} \right)$$

$$k_{yy} = 1,19 \leq 1,55 \rightarrow k_{yy} = 1,19$$

$$k_{zy} = 0,6 \times k_{yy} = 0,6 \times 1,19 = 0,71$$

$$\Psi_z = \frac{M_s}{M_h} = \frac{0,33}{0,55} = 0,6$$

$$C_{m,z} = 0,6 + 0,4\Psi = 0,6 + 0,4 \times 0,6 = 0,84$$

$$k_{zz} = C_{m,z} \left(1 + (\lambda_z - 0,2) \frac{N_{Ed}}{\chi_z \times N_{Rk}/\gamma_{M1}} \right) \leq C_{m,y} \left(1 + 0,8 \frac{N_{Ed}}{\chi_z \times N_{Rk}/\gamma_{M1}} \right)$$

$$k_{zz} = 0,84 \left(1 + (0,67 - 0,2) \frac{324,93}{0,86 \times 545,2/1,0} \right) \leq 0,9 \left(1 + 0,8 \frac{324,93}{0,86 \times 545,2/1,0} \right)$$

$$k_{zz} = 1,11 \leq 1,55 \rightarrow k_{yy} = 1,11$$

$$k_{yz} = 0,6 \times k_{zz} = 0,6 \times 1,11 = 0,67$$

$$\alpha_{LT} = \frac{M_s}{M_h} = \frac{1,61}{2,62} = 0,61$$

$$C_{m,LT} = 0,2 + 0,8\alpha_{LT} = 0,2 + 0,8 \times 0,61 = 0,688$$

$$\frac{\frac{324,93}{0,86 \times 545,2}}{1,0} + 1,19 \times \frac{\frac{2,62}{1,0 \times 25,53}}{1,0} + 0,67 \times \frac{\frac{0,33}{1,0 \times 25,53}}{1,0} \leq 1,00$$

$$0,693 + 0,122 + 0,01 = 0,83 \leq 1,00 \Rightarrow \text{VYHOVUJE}$$

$$\frac{\frac{324,93}{0,86 \times 545,2}}{1,0} + 0,714 \times \frac{\frac{2,62}{1,0 \times 25,53}}{1,0} + 1,11 \times \frac{\frac{0,33}{1,0 \times 25,53}}{1,0} \leq 1,00$$

$$0,693 + 0,07 + 0,01 = 0,77 \leq 1,00 \Rightarrow \text{VYHOVUJE}$$

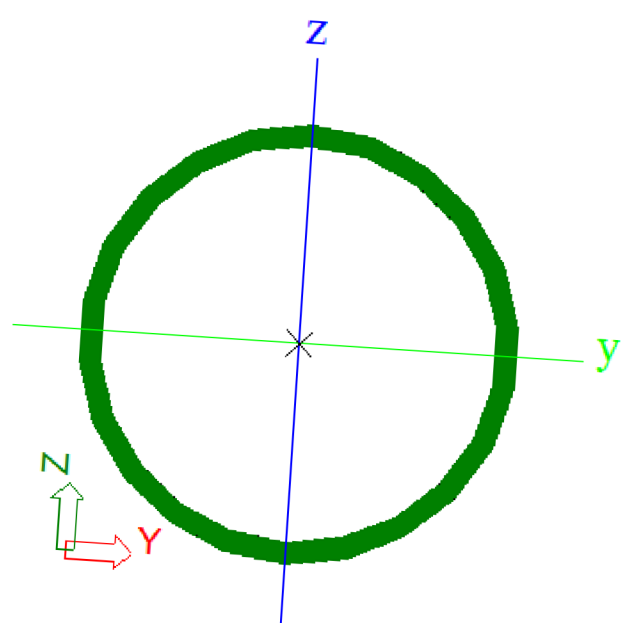
6.2 Dolný pás

6.2.1 Materiálové a prierezové charakteristiky

Ocel: S235

$$f_y = 235 \text{ MPa} \quad E = 210 \text{ GPa}$$

$$f_u = 360 \text{ MPa} \quad G = 81 \text{ GPa}$$



Obr. 23: TR Ø 133 X 6,3

$$A = 2,51 \times 10^{-3} \text{ m}^2$$

$$I_y = I_z = 5,04 \times 10^{-6} \text{ m}^4$$

$$W_{pl,y} = W_{pl,z} = 1,0113 \times 10^{-4} \text{ m}^3$$

Klasifikácia prierezu:

$$\varepsilon = \sqrt{\frac{235}{f_y}} = \sqrt{\frac{235}{235}} = 1,00$$

$$\frac{c}{t} = \frac{133}{6,3} = 21,11 \leq 50\varepsilon^2 = 50 \rightarrow \text{trieda 1}$$

6.2.2 Vnútorné sily

Kombinácia CO 1/1, prut B129

$$N_{Ed} = -52,61 \text{ kN}$$

$$V_{z,Ed} = 0,62 \text{ kN}$$

$$M_{y,Ed} = -1,07 \text{ kNm}$$

$$V_{y,Ed} = 0,04 \text{ kN}$$

$$M_{z,Ed} = -0,49 \text{ kNm}$$

$$T_{Ed} = 0,09 \text{ kN}$$

6.2.3 Posudok na t'ah

$$\frac{N_{Ed}}{N_{t,Rd}} \leq 1,00$$

$$N_{t,Rd} = \frac{A \cdot f_y}{\gamma_{M0}} = \frac{2,51 \times 10^{-3} \times 235 \times 10^3}{1,00} = 589,85 \text{ kN}$$

$$\frac{N_{Ed}}{N_{C,Rd}} = \frac{52,61}{589,85} = 0,09 \leq 1,00 \Rightarrow \mathbf{VYHOVUJE}$$

6.2.4 Posudok rovinného vzperu

$$\frac{N_{Ed}}{N_{b,Rd}} \leq 1,00$$

Vzperné dĺžky:

$$L_{cr,y} = \beta \times L = 1 \times 3,0 = 12,0 \text{ m}$$

$$L_{cr,z} = \beta \times L = 0,5 \times 24 = 3,0 \text{ m}$$

Kritická sila:

$$N_{cr,y} = \frac{\pi^2 x E x I_y}{L_{cr,y}^2} = \frac{\pi^2 x 210x10^6 x 5,04x10^{-6}}{12,0^2} = 72,54 \text{ kN}$$

$$N_{cr,z} = \frac{\pi^2 x E x I_z}{L_{cr,z}^2} = \frac{\pi^2 x 210x10^6 x 5,04x10^{-6}}{3,0^2} = 1160,67 \text{ kN}$$

Pomerná štíhlosť:

$$\lambda_y = \sqrt{\frac{A x f_y}{N_{cr,y}}} = \sqrt{\frac{2,51x10^{-3}x235x10^3}{73,54}} = 2,85$$

$$\lambda_z = \sqrt{\frac{A x f_y}{N_{cr,z}}} = \sqrt{\frac{2,51x10^{-3}x235x10^3}{1160,67}} = 0,71$$

Súčiniteľ vzpernosti:

$$\chi_y = \frac{1}{\Phi_y + \sqrt{\Phi_y^2 - \lambda_y^2}} = \frac{1}{4,84 + \sqrt{4,84^2 - 2,85^2}} = 0,11$$

$$\Phi_y = 0,5 \times [1 + \alpha \times (\lambda_y - 0,2) + \lambda_y^2] = 0,5 \times [1 + 0,21 \times (2,85-0,2) + 2,85^2] = 4,84$$

$$\chi_z = \frac{1}{\Phi_z + \sqrt{\Phi_z^2 - \lambda_z^2}} = \frac{1}{4,84 + \sqrt{4,84^2 - 0,71^2}} = 0,84$$

$$\Phi_z = 0,5 \times [1 + \alpha \times (\lambda_z - 0,2) + \lambda_z^2] = 0,5 \times [1 + 0,21 \times (0,71-0,2) + 0,71^2] = 0,806$$

$$N_{b,Rd} = \frac{\chi_y x A x f_y}{\gamma_{M0}} = \frac{0,11 \times 2,51x10^{-3} x 235x10^3}{1,00} = 67,34 \text{ kN}$$

$$\frac{N_{Ed}}{N_{b,Rd}} = \frac{52,61}{67,34} = 0,78 \Rightarrow \mathbf{VYHOUVUJE}$$

6.2.5 Posudok ohybu a osového tlaku

$$\frac{N_{Ed}}{\chi_y x N_{Rk}} + k_{yy} x \frac{M_{y,Ed} + \Delta M_{y,Ed}}{\chi_{LT} x M_{y,Rk}} + k_{yz} x \frac{M_{z,Ed} + \Delta M_{z,Ed}}{\chi_{LT} x M_{z,Rk}} \leq 1,00$$

$$\frac{N_{Ed}}{\chi_z x N_{Rk}} + k_{zy} x \frac{M_{y,Ed} + \Delta M_{y,Ed}}{\chi_{LT} x M_{y,Rk}} + k_{zz} x \frac{M_{z,Ed} + \Delta M_{z,Ed}}{\chi_{LT} x M_{z,Rk}} \leq 1,00$$

$$N_{Rk} = A \times f_y = 2,51 \times 10^{-3} \times 235 \times 10^3 = 589,85 \text{ kN}$$

$$M_{y,,Rk} = M_{z,,Rk} = W_{pl} \times f_y = 1,0113 \times 10^{-3} \times 235 \times 10^3 = 23,77 \text{ kNm}$$

$$\chi_{LT} = 1,00$$

$$C_{m,y} = 0,9$$

$$k_{yy} = C_{m,y} \left(1 + (\lambda_y - 0,2) \frac{N_{Ed}}{\chi_y N_{Rk}/\gamma_{M1}} \right) \leq C_{m,y} \left(1 + 0,8 \frac{N_{Ed}}{\chi_y N_{Rk}/\gamma_{M1}} \right)$$

$$k_{yy} = 0,9 \left(1 + (2,85 - 0,2) \frac{52,61}{0,11 \times 589,85/1,0} \right) \leq 0,9 \left(1 + 0,8 \frac{52,61}{0,11 \times 589,85/1} \right)$$

$$k_{yy} = 1,46 \leq 1,48 \rightarrow k_{yy} = 1,46$$

$$k_{zy} = 0,6 \times k_{yy} = 0,6 \times 1,46 = 0,88$$

$$\alpha_{s,z} = \frac{M_{s,z}}{M_{h,z}} = \frac{0,11}{0,58} = 0,19$$

$$\Psi_{s,z} = 0$$

$$C_{m,z} = 0,2 + 0,8\alpha_{s,z} = 0,2 + 0,8 \times 0,19 = 0,4$$

$$k_{zz} = C_{m,z} \left(1 + (\lambda_z - 0,2) \frac{N_{Ed}}{\chi_z N_{Rk}/\gamma_{M1}} \right) \leq C_{m,y} \left(1 + 0,8 \frac{N_{Ed}}{\chi_z N_{Rk}/\gamma_{M1}} \right)$$

$$k_{zz} = 0,4 \left(1 + (0,71 - 0,2) \frac{52,61}{0,84 \times 589,85/1,0} \right) \leq 0,9 \left(1 + 0,8 \frac{52,61}{0,84 \times 589,85/1} \right)$$

$$k_{zz} = 0,43 \leq 1,48 \rightarrow k_{yy} = 0,43$$

$$k_{yz} = 0,6 \times k_{zz} = 0,6 \times 0,43 = 0,26$$

$$\Psi_{LT} = 0$$

$$C_{m,LT} = 0,6$$

$$\frac{52,61}{0,11 \times 589,85} + 1,46 \times \frac{2,51}{1,0 \times 23,77} + 0,26 \times \frac{0,72}{1,0 \times 23,77} \leq 1,00$$

$$0,81 + 0,15 + 0,01 = 0,97 \leq 1,00 \Rightarrow \mathbf{VYHOVUJE}$$

$$\frac{52,61}{0,84 \times 589,85} + 0,88 \times \frac{2,51}{1,0 \times 23,77} + 0,44 \times \frac{0,72}{1,0 \times 23,77} \leq 1,00$$

$$0,11 + 0,09 + 0,01 = 0,21 \leq 1,00 \Rightarrow \text{VYHOVUJE}$$

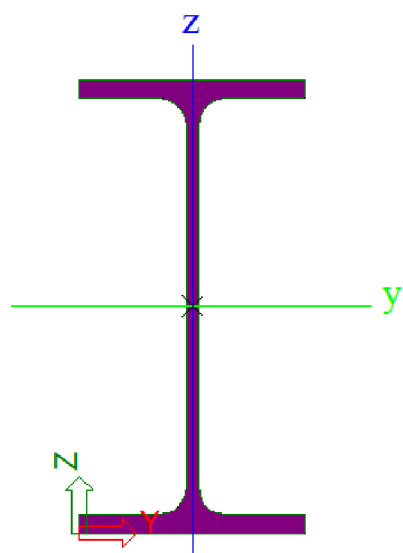
6.3 Väznica

6.3.1 Materiálové a prierezové charakteristiky

Ocel: S235

$$f_y = 235 \text{ MPa} \quad E = 210 \text{ GPa}$$

$$f_u = 360 \text{ MPa} \quad G = 81 \text{ GPa}$$



Obr. 24: IPE 240

$$A = 3,91 \times 10^{-3} \text{ m}^2$$

$$W_{pl,y} = 3,67 \times 10^{-4} \text{ m}^3$$

$$I_y = 3,892 \times 10^{-5} \text{ m}^4$$

$$W_{pl,z} = 7,39 \times 10^{-5} \text{ m}^3$$

$$I_z = 2,84 \times 10^{-6} \text{ m}^4$$

Klasifikácia prierezu:

$$\varepsilon = \sqrt{\frac{235}{f_y}} = \sqrt{\frac{235}{235}} = 1,00$$

Pásnica:

$$\frac{c}{t} = \frac{60}{10} = 6 \leq 9\varepsilon = 9 \rightarrow \text{trieda 1}$$

Stojina:

$$\frac{d}{t_w} = \frac{220}{6} = 36,67 \leq 72\varepsilon = 72 \rightarrow \text{trieda 1}$$

6.3.2 Vnútorné sily

Kombinácia CO 1/6, prut B289

$$N_{Ed} = -103,45 \text{ kN}$$

$$V_{z,Ed} = 0,00 \text{ kN}$$

$$M_{y,Ed} = 14,21 \text{ kNm}$$

$$V_{y,Ed} = 0,00 \text{ kN}$$

$$M_{z,Ed} = 0,00 \text{ kNm}$$

$$T_{Ed} = 0,00 \text{ kN}$$

6.3.3 Posudok na ohyb

$$\frac{M_{Ed}}{M_{C,Rd}} \leq 1,00$$

$$M_{c,Rd} = M_{pl,Rd} = \frac{W_{pl} x f_y}{\gamma_{M0}} = \frac{3,67 \times 10^{-4} x 235 \times 10^3}{1,00} = 86,25 \text{ kNm}$$

$$\frac{M_{Ed}}{M_{C,Rd}} = \frac{14,21}{86,25} = 0,16 \leq 1,00 \Rightarrow \mathbf{VYHOVUJE}$$

6.3.4 Posudok klopenia

Vzperné dlžky:

$$L_z = 5,0 \text{ m} \quad k_w = 1,0$$

$$L_\omega = 5,0 \text{ m} \quad k_z = 1,0$$

$$\frac{M_{Ed}}{M_{b,Rd}} \leq 1,00$$

$$k_{wt} = \frac{\pi}{k_w L} \cdot \sqrt{\frac{EI_w}{GI_t}} = \frac{\pi}{1 \times 5000} \sqrt{\frac{210 \times 10^9 \times 3,74 \times 10^{10}}{81 \times 10^9 \times 12,9 \times 10^4}} = 0,545$$

$$\mu_{cr} = \frac{C_1}{k_z} \left[\sqrt{1 + k_{wt}^2 + (C_2 \zeta_g - C_3 \zeta_j)^2} - (C_2 \zeta_g - C_3 \zeta_j) \right]$$

$$\mu_{cr} = \frac{1,13}{1,0} \left[\sqrt{1 + 0,545^2 + 0^2} - (0) \right] = 1,287$$

$$M_{cr} = \mu_{cr} \frac{\pi \sqrt{EI_z GI_t}}{L} = 1,287 \frac{\pi \sqrt{210 \times 10^9 \times 2,84 \times 10^{-6} \times 81 \times 10^9 \times 12,9 \times 10^{-8}}}{5}$$

$$M_{cr} = 63,84 \text{ kNm}$$

$$\lambda_{LT} = \sqrt{\frac{W_y x f_y}{M_{cr}}} = \sqrt{\frac{3,67 \times 10^{-4} \times 235 \times 10^6}{63,84 \times 10^3}} = 1,16$$

$$\chi_{LT} = \frac{1}{\Phi_y + \sqrt{\Phi_y^2 - \lambda y^2}} = \frac{1}{1,3 + \sqrt{1,3^2 - 1,16^2}} = 0,53$$

$$\Phi_{LT} = 0,5 \times [1 + \alpha \times (\lambda_{LT} - 0,2) + \lambda_{LT}^2] = 0,5 \times [1 + 0,34 \times (1,16 - 0,2) + 1,16^2] = 1,3$$

$$M_{Rd} = \frac{\chi_{LT} W_y f_y}{\gamma_{M1}} = 0,53 \times \frac{3,67 \times 10^{-4} \times 235 \times 10^6}{1} = 45,8 \text{ kNm}$$

$$\frac{14,21}{45,8} = 0,31 \leq 1,00 \Rightarrow \mathbf{VYHOVUJE}$$

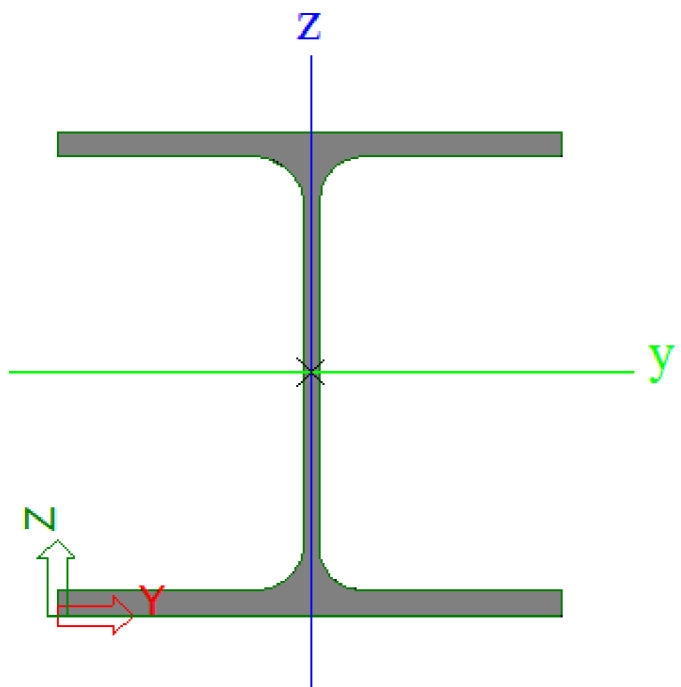
6.4 Hlavný stĺp

6.4.1 Materiálové a prierezové charakteristiky

Ocel: S235

$$f_y = 235 \text{ MPa} \quad E = 210 \text{ GPa}$$

$$f_u = 360 \text{ MPa} \quad G = 81 \text{ GPa}$$



Obr. 25: HEA 240

$$A = 7,68 \times 10^{-3} \text{ m}^2$$

$$W_{pl,y} = 7,4583 \times 10^{-4} \text{ m}^3$$

$$I_y = 7,76 \times 10^{-5} \text{ m}^4$$

$$W_{pl,z} = 3,5167 \times 10^{-4} \text{ m}^3$$

$$I_z = 2,77 \times 10^{-5} \text{ m}^4$$

Klasifikácia prierezu:

$$\varepsilon = \sqrt{\frac{235}{f_y}} = \sqrt{\frac{235}{235}} = 1,00$$

Pásnica:

$$\frac{c}{t} = \frac{95}{12} = 7,92 \leq 9\varepsilon = 9 \rightarrow \text{trieda 1}$$

Stojina:

$$\frac{c}{t} = \frac{164}{8} = 20,5 \leq 33\varepsilon = 33 \rightarrow \text{trieda 1}$$

6.4.2 Vnútorné sily

Kombinácia CO 1/7, prut B144

$$N_{Ed} = -38,09 \text{ kN}$$

$$V_{z,Ed} = -37,97 \text{ kN}$$

$$M_{y,Ed} = 123,46 \text{ kNm}$$

$$V_{y,Ed} = -0,33 \text{ kN}$$

$$M_{z,Ed} = 0,55 \text{ kNm}$$

$$T_{Ed} = 0,17 \text{ kN}$$

6.4.3 Posudok na ohyb

$$\frac{M_{Ed,y}}{M_{C,Rd}} \leq 1,00$$

$$M_{c,Rd} = M_{pl,y,Rd} = \frac{W_{pl} \times f_y}{\gamma_{M0}} = \frac{7,4583 \times 10^{-4} \times 235 \times 10^3}{1,00} = 175,27 \text{ kNm}$$

$$\frac{M_{Ed}}{M_{C,Rd}} = \frac{123,46}{175,27} = 0,70 \leq 1,00 \Rightarrow \mathbf{VYHOVUJE}$$

6.4.4 Posudok na smyk

$$\frac{V_{Ed,z}}{V_{pl,Rd}} \leq 1,00$$

$$V_{pl,Rd} = \frac{A_v \left(\frac{f_y}{\sqrt{3}} \right)}{\gamma_{M0}} = \frac{2520 \left(\frac{235}{\sqrt{3}} \right)}{1,0} = 341,09 \text{ kN}$$

$$A_v = A - 2bt_f + (t_w + 2r)t_f = 7,68 \times 10^{-3} - 2 \times 240 \times 12 + (8 + 2 \times 21) \times 12$$

$$A_v = 2520 \text{ mm}^2$$

$$A_v = 2520 \text{ mm}^2 \geq \eta h_w t_w = 1,2 \times 200 \times 8 = 1920 \text{ mm}^2$$

$$\frac{37,97}{341,09} = 0,11 \leq 1,00 \Rightarrow \mathbf{VYHOVUJE}$$

6.4.5 Posudok klopenia

Vzperné dĺžky:

$$L = 8,0 \text{ m} \quad k_w = 1,0$$

$$k_z = 1,0$$

$$\frac{M_{Ed}}{M_{b,Rd}} \leq 1,00$$

$$k_{wt} = \frac{\pi}{k_w L} \cdot \sqrt{\frac{EI_w}{GI_t}} = \frac{\pi}{1 \times 8000} \sqrt{\frac{210 \times 10^9 \times 3,29 \times 10^{11}}{81 \times 10^9 \times 4,16 \times 10^5}} = 0,56$$

$$\mu_{cr} = \frac{C_1}{k_z} \left[\sqrt{1 + k_{wt}^2 + (C_2 \zeta_g - C_3 \zeta_j)^2} - (C_2 \zeta_g - C_3 \zeta_j) \right]$$

$$\mu_{cr} = \frac{3,45}{1,0} \left[\sqrt{1 + 0,56^2 + 0^2} - (0) \right] = 3,96$$

$$M_{cr} = \mu_{cr} \frac{\pi \sqrt{EI_z GI_t}}{L} = 3,96 \frac{\pi \sqrt{210 \times 10^9 \times 2,77 \times 10^{-5} \times 81 \times 10^9 \times 4,16 \times 10^{-7}}}{8}$$

$$M_{cr} = 688,5 \text{ kNm}$$

$$\lambda_{LT} = \sqrt{\frac{W_y \times f_y}{M_{cr}}} = \sqrt{\frac{7,4583 \times 10^{-4} \times 235 \times 10^6}{688,5 \times 10^3}} = 0,51$$

$$\chi_{LT} = \frac{1}{\Phi_y + \sqrt{\Phi_y^2 - \lambda y^2}} = \frac{1}{0,683 + \sqrt{0,683^2 - 0,51^2}} = 0,88$$

$$\Phi_{LT} = 0,5 \times [1 + \alpha \times (\lambda_{LT} - 0,2) + \lambda_{LT}^2] = 0,5 \times [1 + 0,34 \times (0,51-0,2) + 0,51^2] = 0,683$$

$$M_{Rd} = \frac{\chi_{LT} W_y f_y}{\gamma_{M1}} = 0,88 \times \frac{7,4583 \times 10^{-4} \times 235 \times 10^6}{1} = 154,24 \text{ kNm}$$

$$\frac{123,46}{154,24} = 0,8 \leq 1,00 \Rightarrow \mathbf{VYHOVUJE}$$

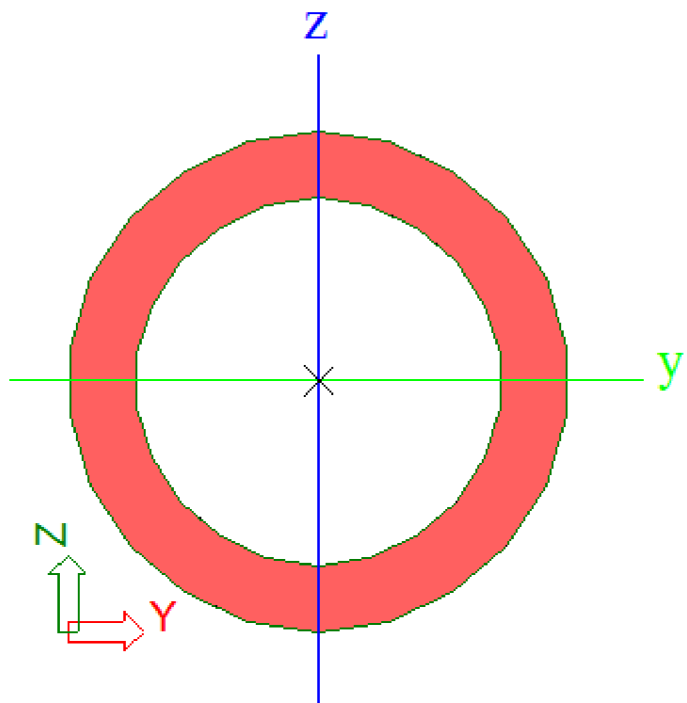
6.5 Strešné stužidlo

6.5.1 Materiálové a prierezové charakteristiky

Ocel: S235

$$f_y = 235 \text{ MPa} \quad E = 210 \text{ GPa}$$

$$f_u = 360 \text{ MPa} \quad G = 81 \text{ GPa}$$



Obr. 26: TR Ø 60,3 X 8

$$A = 1,31 \times 10^{-3} \text{ m}^2$$

$$I_y = I_z = 4,6 \times 10^{-7} \text{ m}^4$$

$$W_{pl,y} = W_{pl,z} = 2,1882 \times 10^{-5} \text{ m}^3$$

Klasifikácia prierezu

$$\varepsilon = \sqrt{\frac{235}{f_y}} = \sqrt{\frac{235}{235}} = 1,00$$

$$\frac{c}{t} = \frac{60,3}{8} = 7,54 \leq 50\varepsilon^2 = 50 \rightarrow \text{trieda 1}$$

6.5.2 Vnútorne sily

Kombinácia CO 1/6, prut B603

$$N_{Ed} = -49,59 \text{ kN}$$

$$V_{z,Ed} = 0,27 \text{ kN}$$

$$M_{y,Ed} = 0,00 \text{ kNm}$$

$$V_{y,Ed} = 0,00 \text{ kN}$$

$$M_{z,Ed} = 0,00 \text{ kNm}$$

$$T_{Ed} = 0,15 \text{ kN}$$

6.5.3 Posudok rovinného vzperu

$$\frac{N_{Ed}}{N_{b,Rd}} \leq 1,00$$

Vzperné dĺžky:

$$L_{cr,y} = L_{cr,z} = \beta \times L = 1 \times 3,942 = 3,942 \text{ m}$$

Kritická sila:

$$N_{cr,y} = N_{cr,z} = \frac{\pi^2 x E x I_y}{L_{cr,y}^2} = \frac{\pi^2 x 210x10^6 x 4,6 \times 10^{-7}}{3,942^2} = 61,35 \text{ kN}$$

Pomerná štíhlosť:

$$\lambda_y = \lambda_z = \sqrt{\frac{A x f_y}{N_{cr,y}}} = \sqrt{\frac{1,31 \times 10^{-3} x 235 x 10^3}{61,35}} = 2,24$$

Súčinitel vzpernosti:

$$\chi_y = \chi_z = \frac{1}{\Phi_y + \sqrt{\Phi_y^2 - \lambda^2}} = \frac{1}{3,223 + \sqrt{3,223^2 - 2,24^2}} = 0,18$$

$$\Phi_y = \Phi_z = 0,5 \times [1 + \alpha \times (\lambda_y - 0,2) + \lambda_y^2] = 0,5 \times [1 + 0,21 \times (2,24 - 0,2) + 2,24^2] = 3,223$$

$$N_{b,Rd} = \frac{\chi_y x A x f_y}{\gamma_{M0}} = \frac{0,18 \times 1,31 \times 10^{-3} x 235 x 10^3}{1,00} = 55,56 \text{ kN}$$

$$\frac{N_{Ed}}{N_{b,Rd}} = \frac{49,59}{55,56} = 0,89 \Rightarrow \text{VYHOUJE}$$

6.5.4 Posudok ohybu a osového tlaku

$$\frac{\frac{N_{Ed}}{\chi_y \times N_{Rk}} + k_{yy} x \frac{M_{y,Ed} + \Delta M_{y,Ed}}{\chi_{LT} \times M_{y,Rk}}}{\gamma_{M1}} \leq 1,00$$

$$\frac{\frac{N_{Ed}}{\chi_z \times N_{Rk}} + k_{zy} x \frac{M_{y,Ed} + \Delta M_{y,Ed}}{\chi_{LT} \times M_{y,Rk}}}{\gamma_{M1}} \leq 1,00$$

$$N_{Rk} = A \times f_y = 1,31 \times 10^{-3} \times 235 \times 10^3 = 307,85 \text{ kN}$$

$$M_{y,,Rk} = M_{z,,Rk} = W_{pl} \times f_y = 2,1882 \times 10^{-5} \times 235 \times 10^3 = 5,14 \text{ kNm}$$

$$\chi_{LT} = 1,00$$

$$C_{m,y} = 0,9$$

$$k_{yy} = C_{m,y} \left(1 + (\lambda_y - 0,2) \frac{N_{Ed}}{\chi_y N_{Rk}/\gamma_{M1}} \right) \leq C_{m,y} \left(1 + 0,8 \frac{N_{Ed}}{\chi_y N_{Rk}/\gamma_{M1}} \right)$$

$$k_{yy} = 0,9 \left(1 + (2,24 - 0,2) \frac{49,59}{0,18 \times 307,85/1,0} \right) \leq 0,9 \left(1 + 0,8 \frac{49,59}{0,18 \times 307,85/1} \right)$$

$$k_{yy} = 1,54 \leq 1,54 \rightarrow k_{yy} = 1,54$$

$$k_{zy} = 0,6 \times k_{yy} = 0,6 \times 1,54 = 0,93$$

$$\Psi_{LT} = 1,0$$

$$C_{m,LT} = 0,95$$

$$\frac{\frac{49,59}{0,18 \times 307,85}}{1,0} + 1,54 \times \frac{0,26}{1,0 \times 5,14} + 0,93 \times \frac{0,00}{1,0 \times 5,14} \leq 1,00$$

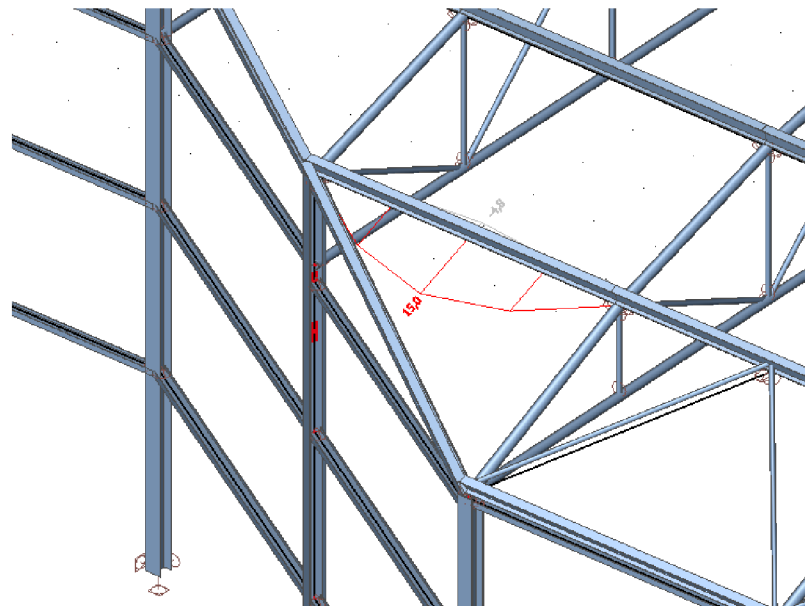
$$0,89 + 0,08 + 0,00 = 0,97 \leq 1,00 \Rightarrow \mathbf{VYHOVUJE}$$

$$\frac{\frac{49,59}{0,18 \times 307,85}}{1,0} + 0,93 \times \frac{0,26}{1,0 \times 5,14} + 1,54 \times \frac{0,00}{1,0 \times 5,14} \leq 1,00$$

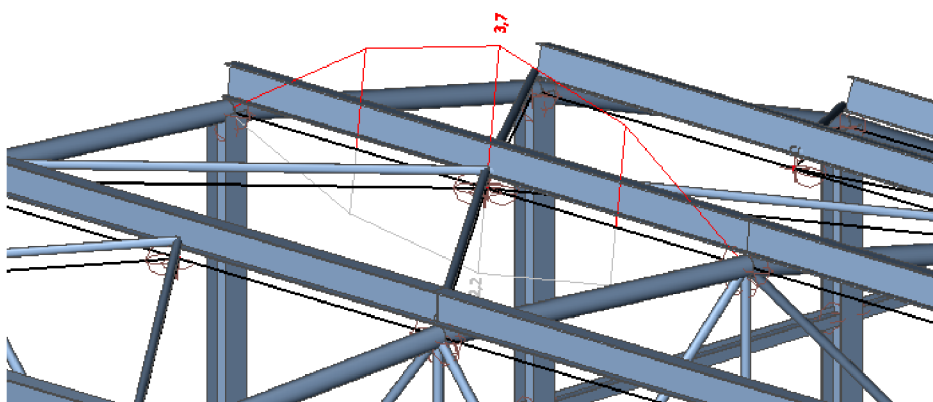
$$0,89 + 0,05 + 0,00 = 0,94 \leq 1,00 \Rightarrow \mathbf{VYHOVUJE}$$

7 Medzný stav použiteľnosti

7.1 Väznica



Obr. 27: Maximálny priehyb väznice $\delta_{\max,y}$



Obr. 28: Maximálny priehyb väznice $\delta_{\max,z}$

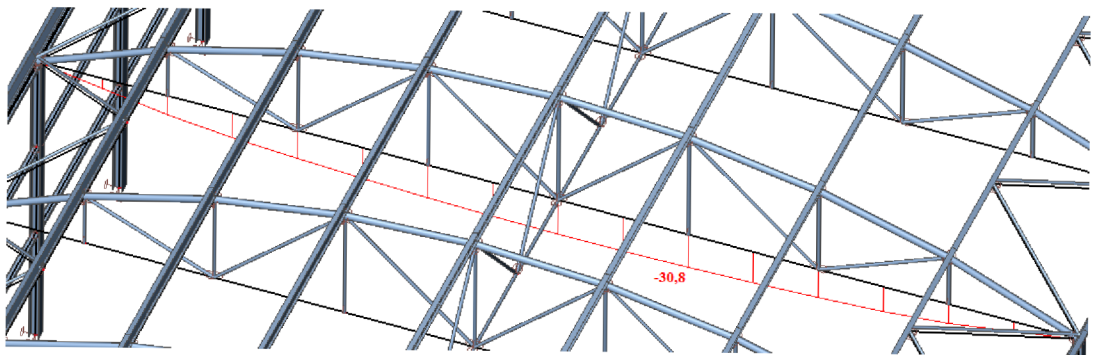
$$\delta_{\max} \leq \delta$$

$$\delta = \frac{l}{200} = \frac{5000}{200} = 25,0 \text{ mm}$$

$$\delta_{\max,y} = 15,0 \text{ mm} \leq \delta = 25,0 \text{ mm} \Rightarrow \mathbf{VYHOVUJE}$$

$$\delta_{\max,z} = 3,7 \text{ mm} \leq \delta = 25,0 \text{ mm} \Rightarrow \mathbf{VYHOVUJE}$$

7.2 Väzník



Obr. 29: Maximálny priehyb väznice $\delta_{\max,z}$

$$\delta_{\max} \leq \delta$$

$$\delta = \frac{l}{250} = \frac{24000}{250} = 96,0 \text{ mm}$$

$\delta_{\max,y} = 7,1 \text{ mm} \leq \delta = 96,0 \text{ mm} \Rightarrow \mathbf{VYHOVUJE}$

$\delta_{\max,z} = 30,8 \text{ mm} \leq \delta = 96,0 \text{ mm} \Rightarrow \mathbf{VYHOVUJE}$

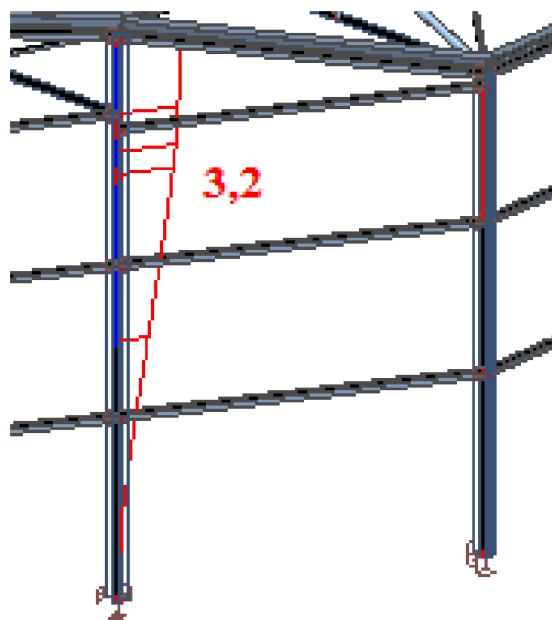
7.3 Hlavné stĺpy

$$\delta_{\max} \leq \delta$$

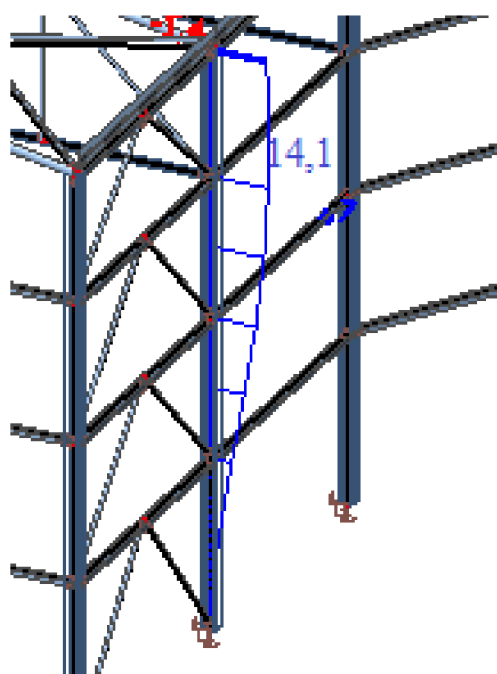
$$\delta = \frac{l}{300} = \frac{8000}{300} = 26,67 \text{ mm}$$

$\delta_{\max,y} = 3,2 \text{ mm} \leq \delta = 26,67 \text{ mm} \Rightarrow \mathbf{VYHOVUJE}$

$\delta_{\max,z} = 14,1 \text{ mm} \leq \delta = 26,67 \text{ mm} \Rightarrow \mathbf{VYHOVUJE}$



Obr. 30: Maximálny priehyb väznice $\delta_{\max,y}$



Obr. 31 Maximálny priehyb väznice $\delta_{\max,z}$

7.4 Paždíky

$$\delta_{\max} \leq \delta$$

$$\delta = \frac{l}{250} = \frac{5000}{250} = 20,0 \text{ mm}$$

$$\delta_{\max,z} = 13,3 \text{ mm} \leq \delta = 20,0 \text{ mm} \Rightarrow \mathbf{VYHOVUJE}$$

$$\delta_{max,y} = 14,1 \text{ mm} \leq \delta = 20,0 \text{ mm} \Rightarrow \mathbf{VYHOVUJE}$$

7.5 Strešné stužidlo

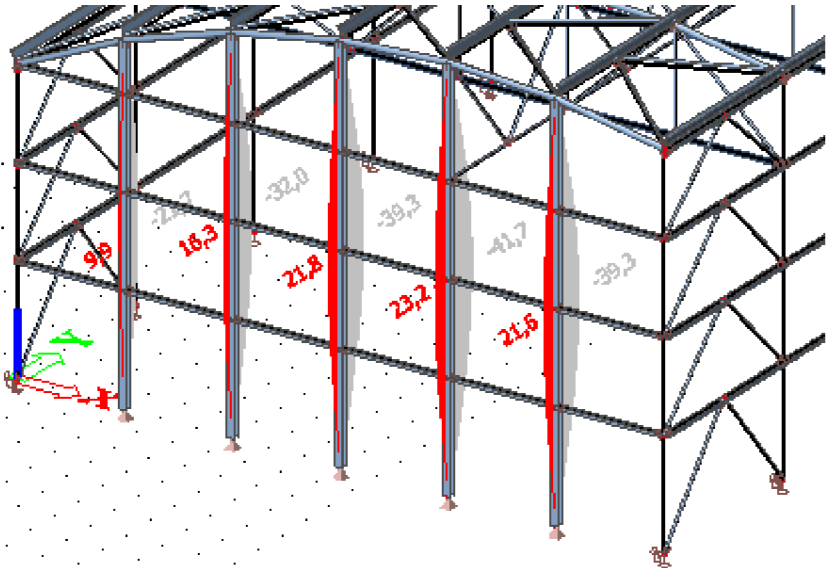
$$\delta_{max} \leq \delta$$

$$\delta = \frac{l}{200} = \frac{4135}{200} = 21,0 \text{ mm}$$

$$\delta_{max,z} = 20,0 \text{ mm} \leq \delta = 21,0 \text{ mm} \Rightarrow \mathbf{VYHOVUJE}$$

$$\delta_{max,y} = 0 \text{ mm} \leq \delta = 21,0 \text{ mm} \Rightarrow \mathbf{VYHOVUJE}$$

7.6 Čelné stĺpy



Obr. 32: Maximálne priehyby čelných stĺpov

$$\delta_1 = \frac{l}{250} = \frac{9359}{250} = 37,4 \text{ mm} \geq \delta_{max,1} = 21,7 \text{ mm} \Rightarrow \mathbf{VYHOVUJE}$$

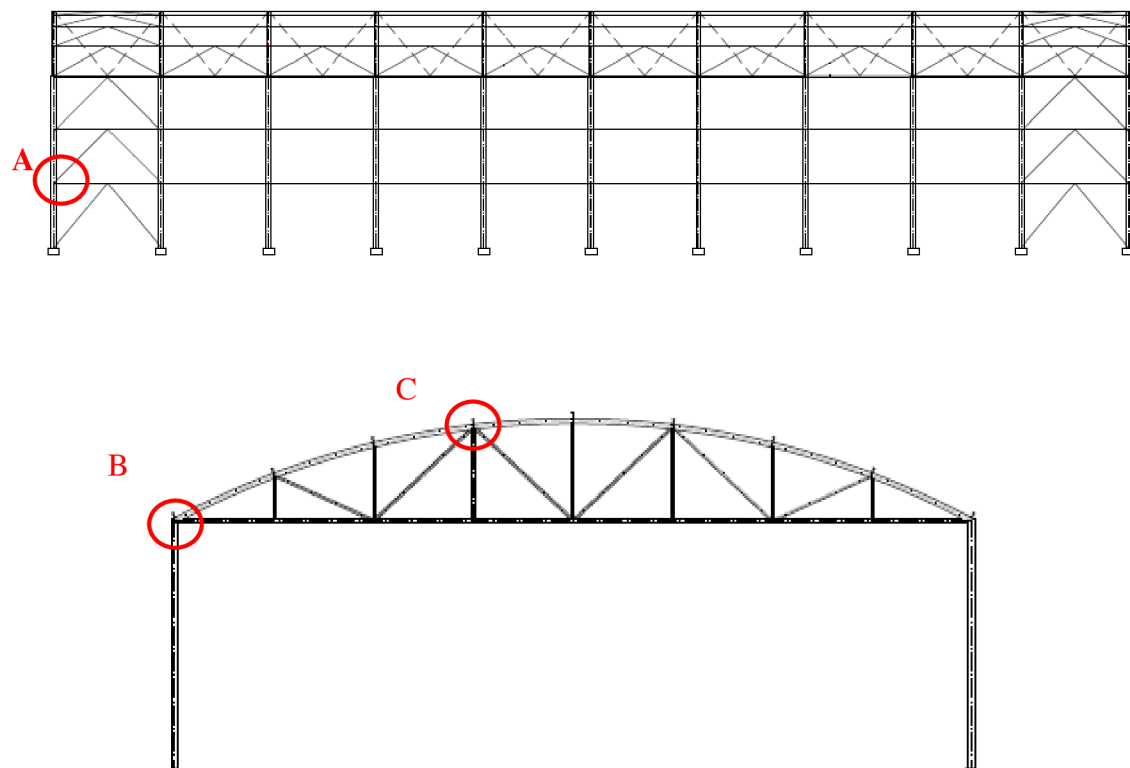
$$\delta_1 = \frac{l}{250} = \frac{10284}{250} = 41,1 \text{ mm} \geq \delta_{max,1} = 32 \text{ mm} \Rightarrow \mathbf{VYHOVUJE}$$

$$\delta_1 = \frac{l}{250} = \frac{10823}{250} = 43,2 \text{ mm} \geq \delta_{max,1} = 39,3 \text{ mm} \Rightarrow \mathbf{VYHOVUJE}$$

$$\delta_1 = \frac{l}{250} = \frac{11000}{250} = 44,0 \text{ mm} \geq \delta_{max,1} = 41,7 \text{ mm} \Rightarrow \mathbf{VYHOVUJE}$$

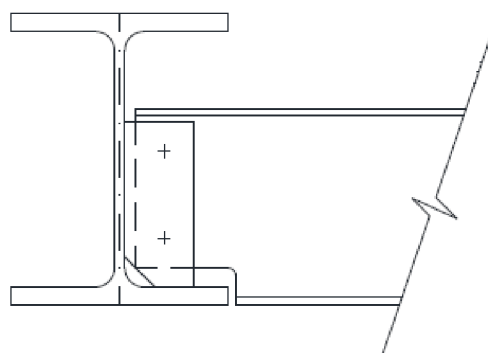
8 Details

V detaili A sa rieši pripojenie paždíka a stužidla na stĺp. Detail B je uloženie väzníka na stĺp a detail C je pripojenie diagonál, zvislice k hornému pásu.



Obr. 33: Vyznačenie riešených spojov

8.1 Detail A



Obr. 34: Pohľad na det. A zhora

8.1.1 Pripojenie paždíka na stíp

$$N_{Ed} = 30,17 \text{ kN}$$

$$V_{Ed} = 10,58 \text{ kN}$$

Návrh plechu a skrutiek

$$t_p = 5 \text{ mm}, 2 \times M12 5.8$$

$$d = 12 \text{ mm}, d_0 = 13 \text{ mm}, A_s = 84,3 \text{ mm}, f_{ub} = 500 \text{ MPa}$$

Vzdialenosť k okrajom

$$e_1 = 2d_0 = 2 \times 13 = 26 \text{ mm} \rightarrow e_1 = 25 \text{ mm}$$

$$e_2 = 1,5d_0 = 1,5 \times 13 = 19,5 \text{ mm} \rightarrow e_1 = 20 \text{ mm}$$

$$p_1 = 3,5d_0 = 3,5 \times 13 = 45,5 \text{ mm} \rightarrow p_1 = 50 \text{ mm}$$

$$p_2 = 3,0d_0 = 3,0 \times 13 = 39 \text{ mm} \rightarrow p_2 = 40 \text{ mm}$$

Únosnosť v strihu

$$F_{v,Rd} = \frac{0,6x f_{ub} x A_s}{\gamma_{M2}} = \frac{0,6x 500 x 84,3}{1,25} = 20,23 \text{ kN}$$

$$F_{Ed,1} = \frac{N_{Ed}}{n} = \frac{30,17}{2} = 15,09 \text{ kN}$$

$$F_{Ed,1} = 15,09 \text{ kN} \leq F_{v,Rd} = 20,23 \text{ kN} \Rightarrow \mathbf{VYHOVUJE}$$

Únosnosť v otlačení

$$F_{b,Rd} = \frac{k_1 x \alpha x f_u x A_s x d x t}{\gamma_{M2}} = \frac{2,5x0,64x360x12x5}{1,25} = 27,69 \text{ kN}$$

$$\alpha = \min\left(\frac{e_1}{3d_0}; \frac{p_1}{3d_0} - \frac{1}{4}; \frac{f_{ub}}{f_u}; 1,0\right) = \min\left(\frac{25}{3x13}; \frac{50}{3x13} - \frac{1}{4}; \frac{500}{360}; 1,0\right)$$

$$\alpha = \min(0,64; 1,03; 1,39; 1,0) = 0,64$$

$$k_1 = \min\left(2,8 x \frac{e_2}{d_0} - 1,7; 2,5; 1,4 x \frac{p_2}{d_0} - 1,7\right)$$

$$k_1 = \min\left(2,8 x \frac{20}{13} - 1,7; 2,5; 1,4 x \frac{40}{13} - 1,7\right) = 2,5$$

$$F_{Ed,1} = 15,09 \text{ kN} \leq F_{b,Rd} = 27,69 \text{ kN} \Rightarrow \mathbf{VYHOVUJE}$$

Posúdenie zvaru

$a = 3 \text{ mm}$, $l = 100 \text{ mm}$

$$F_{\parallel} = 10,58 \text{ kN} \quad F_{\perp} = 30,17 \text{ kN}$$

$$\sigma_{\perp} = \tau_{\perp} = \frac{F_{\perp} x \cos 45}{a x l} = \frac{30,17 x 10^3 x}{3 x 100} = 71,11 \text{ MPa}$$

$$\tau_{\parallel} = \frac{F_{\parallel}}{a x l} = \frac{10,58 x 10^3}{3 x 100} = 35,27 \text{ MPa}$$

$$\sqrt{\sigma_{\perp}^2 + 3\tau_{\perp}^2 + 3\tau_{\parallel}^2} = \sqrt{71,11^2 + 3x71,11^2 + 3x35,27^2} = 154,79 \text{ MPa}$$

$$\frac{f_u}{\gamma_{M2} x \beta_w} = \frac{360}{1,25 x 0,8} = 360 \text{ MPa} \geq 154,79 \text{ MPa} \Rightarrow \mathbf{VYHOVUJE}$$

$$\sigma_{\perp} \leq \frac{f_u}{\gamma_{M2}}$$

$$154,79 \text{ MPa} \leq \frac{360}{1,25} = 288 \text{ MPa} \Rightarrow \mathbf{VYHOVUJE}$$

8.1.2 Pripojenie stužidla na stíp

$N_{Ed} = 45,9 \text{ kN}$

Posúdenie zvaru

$a = 3 \text{ mm}$, $l = 2 \times 200 \text{ mm}$

$$F_{\parallel} = N_{Ed} x \cos \alpha = 45,9 x \cos 50 = 29,5 \text{ kN}$$

$$F_{\perp} = N_{Ed} x \sin \alpha = 45,9 x \sin 50 = 35,16 \text{ kN}$$

$$\sigma_{\perp} = \tau_{\perp} = \frac{F_{\perp} x \cos 45}{a x l} = \frac{29,5 x 10^3 x \cos 45}{3 x 200} = 34,77 \text{ MPa}$$

$$\tau_{\parallel} = \frac{F_{\parallel}}{a x l} = \frac{10,58 x 10^3}{3 x 200} = 58,6 \text{ MPa}$$

$$\sqrt{\sigma_{\perp}^2 + 3\tau_{\perp}^2 + 3\tau_{\parallel}^2} = \sqrt{34,77^2 + 3x34,77^2 + 3x58,6^2} = 123,04 \text{ MPa}$$

$$\frac{f_u}{\gamma_{M2} x \beta_w} = \frac{360}{1,25 x 0,8} = 360 \text{ MPa} \geq 123,04 \text{ MPa} \Rightarrow \mathbf{VYHOVUJE}$$

$$\sigma_{\perp} \leq \frac{f_u}{\gamma_{M2}}$$

$$123,04 \text{ MPa} \leq \frac{360}{1,25} = 288 \text{ MPa} \Rightarrow \mathbf{VYHOVUJE}$$

8.1.3 Pripojenie stužidla na paždík

$$N_{Ed} = 45,9 \text{ kN}$$

Posúdenie zvaru: stužidlo - plech

$$a = 3 \text{ mm}, l = 4 \times 40 \text{ mm}$$

$$F_{\parallel} = 10,58 \text{ kN}$$

$$\tau_{\parallel} = \frac{F_{\parallel}}{a \times l} = \frac{45,9 \times 10^3}{3 \times 160} = 95,63 \text{ MPa}$$

$$\sqrt{\sigma_{\perp}^2 + 3\tau_{\perp}^2 + 3\tau_{\parallel}^2} = \sqrt{0^2 + 3 \times 0^2 + 3 \times 95,63^2} = 165,64 \text{ MPa}$$

$$\frac{f_u}{\gamma_{M2} \times \beta_w} = \frac{360}{1,25 \times 0,8} = 360 \text{ MPa} \geq 165,64 \text{ MPa} \Rightarrow \mathbf{VYHOVUJE}$$

Návrh plechu a skrutiek

$$t_p = 5 \text{ mm}, 2 \times M16 5,8$$

$$d = 16 \text{ mm}, d_0 = 17 \text{ mm}, A_s = 157 \text{ mm}, f_{ub} = 500 \text{ MPa}$$

Únosnosť v strihu

$$F_{v,Rd} = \frac{0,6 \times f_{ub} \times A_s}{\gamma_{M2}} = \frac{0,6 \times 500 \times 157}{1,25} = 37,68 \text{ kN}$$

$$F_{Ed,1} = \frac{N_{Ed}}{n} = \frac{45,9}{2} = 22,95 \text{ kN}$$

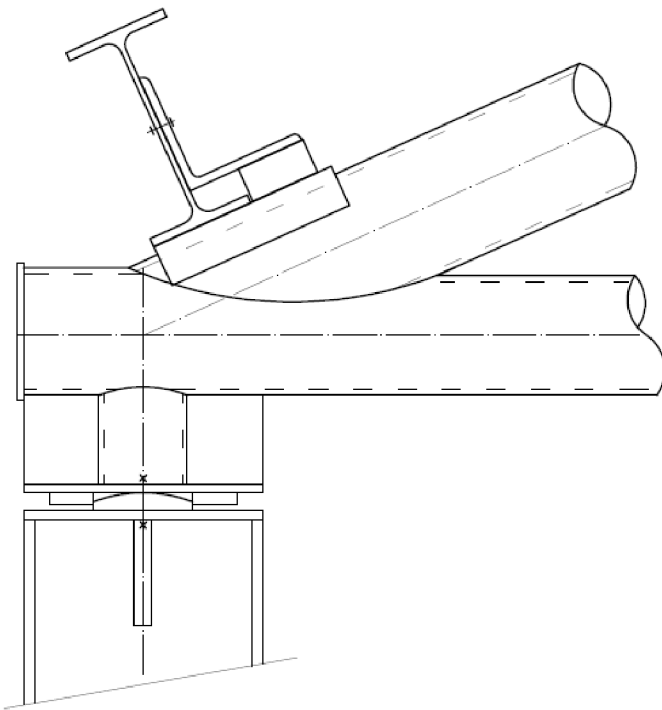
$$F_{Ed,1} = 22,95 \text{ kN} \leq F_{v,Rd} = 37,68 \text{ kN} \Rightarrow \mathbf{VYHOVUJE}$$

Únosnosť v otlačení

$$F_{b,Rd} = \frac{k_1 \times \alpha \times f_u \times A_s \times d \times t}{\gamma_{M2}} = \frac{2,5 \times 0,64 \times 360 \times 16 \times 5}{1,25} = 41,0 \text{ kN}$$

$$F_{Ed,1} = 22,95 \text{ kN} \leq F_{b,Rd} = 41,0 \text{ kN} \Rightarrow \mathbf{VYHOVUJE}$$

8.2 Detail B



Obr. 35: Prípoj väzníka na stĺp

8.2.1 Uloženie väznice na väzník

$$N_{Ed} = 22,81 \text{ kN}$$

Návrh plechu a skrutiek

$$t_p = 5 \text{ mm}, 2 \times M12 5.8$$

$$d = 12 \text{ mm}, d_0 = 13 \text{ mm}, A_s = 84,3 \text{ mm}, f_{ub} = 500 \text{ MPa}$$

Únosnosť v ťahu

$$F_{v,Rd} = \frac{0,9 \times f_{ub} \times A_s}{\gamma_{M2}} = \frac{0,6 \times 500 \times 84,3}{1,25} = 30,34 \text{ kN}$$

$$N_{Ed} = 22,81 \text{ kN} \leq F_{t,Rd} = 30,34 \text{ kN} \Rightarrow \mathbf{VYHOVUJE}$$

Únosnosť v pretlačení hlavy

$$B_{p,Rd} = \frac{0,6 \times \pi \times f_u \times d_m \times t_p}{\gamma_{M2}} = \frac{0,6 \times \pi \times 360 \times 20,45 \times 5}{1,25} = 55,51 \text{ kN}$$

$$N_{Ed} = 22,81 \text{ kN} \leq B_{p,Rd} = 55,51 \text{ kN} \Rightarrow \mathbf{VYHOVUJE}$$

Posúdenie zvaru podložky a plechu

a = 3 mm, l= 2 x 80 mm

$$F_{\parallel} = 22,81 \text{ kN}$$

$$\sigma_{\perp} = \tau_{\perp} = \frac{\sigma_w}{\sqrt{2}} = \frac{47,5}{\sqrt{2}} = 33,59 \text{ MPa}$$

$$\tau_w = \frac{F_{\parallel}}{a \times l} = \frac{22,81 \times 10^3}{3 \times 160} = 47,5 \text{ MPa}$$

$$\sqrt{\sigma_{\perp}^2 + 3\tau_{\perp}^2 + 3\tau_{\parallel}^2} = \sqrt{33,59^2 + 3 \times 33,59^2 + 3 \times 0^2} = 67,18 \text{ MPa}$$

$$\frac{f_u}{\gamma_{M2} \times \beta_w} = \frac{360}{1,25 \times 0,8} = 360 \text{ MPa} \geq 67,18 \text{ MPa} \Rightarrow \mathbf{VYHOVUJE}$$

$$\sigma_{\perp} \leq \frac{f_u}{\gamma_{M2}}$$

$$33,59 \text{ MPa} \leq \frac{360}{1,25} = 288 \text{ MPa} \Rightarrow \mathbf{VYHOVUJE}$$

8.2.2 Uloženie väzníka na stĺp

N_{Ed} = 56,37 kN

Návrh plechu a skrutiek

t_p = 5 mm, 2 x M12 5.8

d = 12 mm, d₀ = 13 mm, A_s = 84,3 mm, f_{ub} = 500 MPa

Únosnosť v ťahu

$$F_{Ed,1} = \frac{N_{Ed}}{n} = \frac{56,37}{2} = 28,2 \text{ kN}$$

$$F_{v,Rd} = \frac{0,9x f_{ub} x A_s}{\gamma_{M2}} = \frac{0,6x 500x 84,3}{1,25} = 30,34 \text{ kN}$$

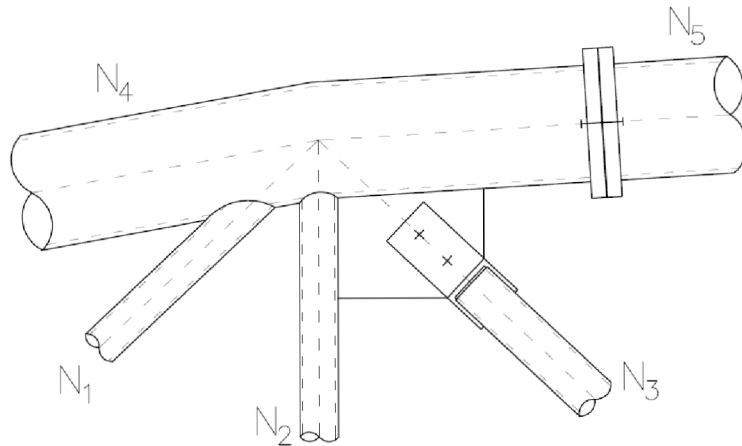
N_{Ed} = 28,2 kN ≤ F_{v,Rd} = 30,34 kN ⇒ **VYHOVUJE**

Únosnosť v pretlačení hlavy

$$B_{p,Rd} = \frac{0,6x \pi x f_u x d_m x t_p}{\gamma_{M2}} = \frac{0,6x \pi x 360 x 20,45 x 5}{1,25} = 55,51 \text{ kN}$$

$$N_{Ed} = 28,2 \text{ kN} \leq B_{p,Rd} = 55,51 \text{ kN} \Rightarrow \text{VYHOVUJE}$$

8.3 Detail C



Obr. 36: Prípoj prutov a montážny spoj horného pasu

Vnútorné sily

$$\begin{array}{llll} N_1 = -7,21 \text{ kN}, & N_2 = 14,52 \text{ kN}, & N_3 = 8,32 \text{ kN}, & N_4 = 58,19 \text{ kN} \\ N_1 = 17,1 \text{ kN}, & N_3 = -12,7 \text{ kN}, & N_4 = -316,26 \text{ kN}, & N_5 = -320,85 \text{ kN} \end{array}$$

8.3.1 Pripojenie diagonál a zvislice k hornému pásu

Overenie prierezov

Zvislica:

$$0,2 \leq \frac{d_1}{d_0} = \frac{70}{152,4} = 0,46 \leq 1,0 \Rightarrow \text{vyhovuje}$$

$$10 \leq \frac{d_1}{t_1} = \frac{70}{5,4} = 12,96 \leq 50 \Rightarrow \text{vyhovuje}$$

Diagonály:

$$0,2 \leq \frac{d_1}{d_0} = \frac{70}{152,4} = 0,46 \leq 1,0 \Rightarrow \text{vyhovuje}$$

$$10 \leq \frac{d_1}{t_1} = \frac{73}{7,1} = 10,3 \leq 50 \Rightarrow \text{vyhovuje}$$

Dolný pás:

$$10 \leq \frac{d_1}{t_1} = \frac{133}{6,3} = 21,1 \leq 50 \Rightarrow \text{vyhovuje}$$

Diagonála 1

$$a = 3 \text{ mm}, l = 2\pi r = 2\pi \times 35 = 220 \text{ mm}$$

$$F_{\parallel} = N_{Ed} x \cos \alpha = 17,1 x \cos 33 = 14,34 \text{ kN}$$

$$F_{\perp} = N_{Ed} x \sin \alpha = 17,1 x \sin 33 = 9,31 \text{ kN}$$

$$\sigma_{\perp} = \tau_{\perp} = \frac{\sigma_w}{\sqrt{2}} = \frac{15,52 \times 10^3}{\sqrt{2}} = 10,98 \text{ MPa}$$

$$\sigma_w = \frac{F_{\perp}}{a \times l} = \frac{9,31 \times 10^3}{3 \times 220} = 15,52 \text{ MPa}$$

$$\tau_{\parallel} = \frac{F_{\parallel}}{a \times l} = \frac{14,34 \times 10^3}{3 \times 220} = 21,7 \text{ MPa}$$

$$\sqrt{\sigma_{\perp}^2 + 3\tau_{\perp}^2 + 3\tau_{\parallel}^2} = \sqrt{10,98^2 + 3 \times 10,98^2 + 3 \times 21,7^2} = 46,85 \text{ MPa}$$

$$\frac{f_u}{\gamma M_2 x \beta_w} = \frac{360}{1,25 \times 0,8} = 360 \text{ MPa} \geq 46,85 \text{ MPa} \Rightarrow \mathbf{VYHOVUJE}$$

Porušenie povrchu pásu

$$N_{1,Rd} = \frac{k_g k_p f_{y0} t_0^2}{\sin \alpha} x \left(1,8 + 10,2 x \frac{d_1}{d_0} \right) = \frac{1,95 x 1 x 235 x 7,1^2}{\sin 33} x \left(1,8 + 10,2 x \frac{73}{152,4} \right) =$$

$$= 283,57 \text{ kN} \geq N_{Ed} = 17,1 \text{ kN} \rightarrow \text{vyhovuje}$$

$$n_p = \frac{\sigma_{Ed}}{f_y} = \frac{23,12}{235} = 0,1$$

$$k_p = 1 - 0,3 n_p x (1 + n_p) = 0,963$$

$$\eta = \frac{h_i}{d_0} = \frac{190}{152,4} = 1,247$$

$$N_{1,Rd} = 37,2 \text{ kN} \geq N_{Ed} = 12,74 \rightarrow \text{vyhovuje}$$

Prelomenie šmykom

$$N_{i,Rd} = \frac{f_{y0}}{\sqrt{3}} x t_0 x \pi x d_i x \frac{1 + \sin \alpha}{2 \sin^2 \alpha} = \frac{235}{\sqrt{3}} x 0,0071 x \pi x 0,073 x \frac{1 + \sin 33}{2 \sin^2 33} = 316,8 \text{ kN}$$

$$N_{1,Rd} = 316,8 \text{ kN} \geq N_{Ed} = 12,74 \rightarrow \text{vyhovuje}$$

$$23,12 \times 0,005 \leq 2 \times 0,005 \times \frac{235}{\sqrt{3}}$$

$0,12 \leq 1,36 \rightarrow$ vyhovuje

Zvislica

$a = 3 \text{ mm}, l = 2\pi r = 2\pi \times 35 = 220 \text{ mm}$

$$\sigma_{\perp} = \tau_{\perp} = \frac{N_2 x \cos 45}{a \times l} = \frac{14,52 \times 10^3 \times x}{3 \times 220} = 15,56 \text{ MPa}$$

$$\sqrt{\sigma_{\perp}^2 + 3\tau_{\perp}^2 + 3\tau_{\parallel}^2} = \sqrt{15,56^2 + 3 \times 15,56^2 + 3 \times 0^2} = 31,12 \text{ MPa}$$

$$\frac{f_u}{\gamma_{M2} \times \beta_w} = \frac{360}{1,25 \times 0,8} = 360 \text{ MPa} \geq 31,12 \text{ MPa} \Rightarrow \mathbf{VYHOVUJE}$$

Diagonála 3

Vzdialenosť k okrajom

$$e_1 = 2d_0 = 2 \times 13 = 26 \text{ mm} \rightarrow e_1 = 25 \text{ mm}$$

$$e_2 = 1,5d_0 = 1,5 \times 13 = 19,5 \text{ mm} \rightarrow e_1 = 20 \text{ mm}$$

$$p_1 = 3,5d_0 = 3,5 \times 13 = 45,5 \text{ mm} \rightarrow p_1 = 50 \text{ mm}$$

Návrh plechu a skrutiek

$$t_p = 5 \text{ mm}, 2 \times M12 5.8$$

$$d = 12 \text{ mm}, d_0 = 13 \text{ mm}, A_s = 84,3 \text{ mm}, f_{ub} = 500 \text{ MPa}$$

Únosnosť v strihu

$$F_{v,Rd} = \frac{0,6 \times f_{ub} \times A_s}{\gamma_{M2}} = \frac{0,6 \times 500 \times 84,3}{1,25} = 20,23 \text{ kN}$$

$$F_{Ed,1} = \frac{N_{Ed}}{n} = \frac{12,74}{2} = 6,37 \text{ kN}$$

$$F_{Ed,1} = 6,37 \text{ kN} \leq F_{v,Rd} = 20,23 \text{ kN} \Rightarrow \mathbf{VYHOVUJE}$$

Únosnosť v otlačení

$$F_{b,Rd} = \frac{k_1 x \alpha x f_u x A_s x d x t}{\gamma_{M2}} = \frac{2,5x0,64x360x12x5}{1,25} = 27,69 \text{ kN}$$

$$F_{Ed,1} = 6,37 \text{ kN} \leq F_{b,Rd} = 27,69 \text{ kN} \Rightarrow \mathbf{VYHOVUJE}$$

Posúdenie zvaru: diagonála - plech

$$a = 3 \text{ mm}, l = 4 \times 40 \text{ mm}$$

$$F_{\parallel} = 12,74 \text{ kN}$$

$$\tau_{\parallel} = \frac{F_{\parallel}}{a x l} = \frac{12,74x10^3}{3x160} = 26,55 \text{ MPa}$$

$$\sqrt{\sigma_{\perp}^2 + 3\tau_{\perp}^2 + 3\tau_{\parallel}^2} = \sqrt{0^2 + 3x0^2 + 3x26,55^2} = 45,99 \text{ MPa}$$

$$\frac{f_u}{\gamma_{M2}x\beta_w} = \frac{360}{1,25x0,8} = 360 \text{ MPa} \geq 45,99 \text{ MPa} \Rightarrow \mathbf{VYHOVUJE}$$

Posúdenie zvaru: horný pás – plech

$$a = 3 \text{ mm}, l = 190 \text{ mm}$$

$$F_{\parallel} = N_{Ed} x \cos \alpha = 12,74 x \cos 46 = 8,85 \text{ kN}$$

$$F_{\perp} = N_{Ed} x \sin \alpha = 12,74 x \sin 46 = 9,17 \text{ kN}$$

$$\sigma_{\perp} = \tau_{\perp} = \frac{F_{\perp} x \cos 45}{a x l} = \frac{9,17x10^3 x \cos 45}{3x190} = 11,38 \text{ MPa}$$

$$\tau_{\parallel} = \frac{F_{\parallel}}{a x l} = \frac{8,85x10^3}{3x190} = 15,53 \text{ MPa}$$

$$\sqrt{\sigma_{\perp}^2 + 3\tau_{\perp}^2 + 3\tau_{\parallel}^2} = \sqrt{11,38^2 + 3x11,38^2 + 3x15,53^2} = 35,24 \text{ MPa}$$

$$\frac{f_u}{\gamma_{M2}x\beta_w} = \frac{360}{1,25x0,8} = 360 \text{ MPa} \geq 35,24 \text{ MPa} \Rightarrow \mathbf{VYHOVUJE}$$

$$\sigma_{\perp} \leq \frac{f_u}{\gamma_{M2}}$$

$$11,38 \text{ MPa} \leq \frac{360}{1,25} = 288 \text{ MPa} \Rightarrow \mathbf{VYHOVUJE}$$

Porušenie povrchu pásu

$$N_{3,Rd} = \frac{5k_p f_y t_0^2 x (1 + 0,25\eta)}{\gamma_{M5}} = \frac{5x0,963x235x0,005^2x(1 + 0,25x1,247)}{1,0} = 37,2kN$$

$$n_p = \frac{\sigma_{Ed}}{f_y} = \frac{23,12}{235} = 0,1$$

$$k_p = 1 - 0,3n_p x (1 + n_p) = 0,963$$

$$\eta = \frac{h_i}{d_0} = \frac{190}{152,4} = 1,247$$

$$N_{3,Rd} = 37,2 kN \geq N_{Ed} = 12,74 \rightarrow \text{vyhovuje}$$

Prelomenie šmykom

$$\sigma_{max,t} = \left(\frac{N_{Ed}}{A} + \frac{M_{Ed}}{W_{pl}} \right) x t_i \leq 2t_i \frac{f_y}{\sqrt{3}}$$

$$23,12 x 0,005 \leq 2 x 0,005 x \frac{235}{\sqrt{3}}$$

$$0,12 \leq 1,36 \rightarrow \text{vyhovuje}$$

8.3.2 Montážny spoj horného pásu

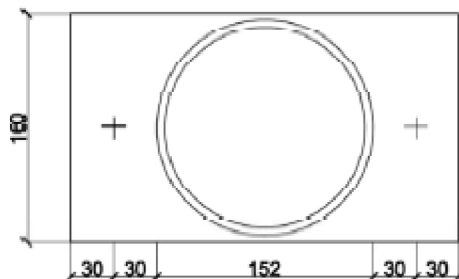
$$N_{Ed,c} = -320,85 \text{ kN}$$

$$N_{Ed,t} = 42,88 \text{ kN}$$

Návrh plechu a skrutiek

$$t_p = 15 \text{ mm}, 2 \times M12 5.8$$

$$d = 12 \text{ mm}, d_0 = 13 \text{ mm}, A_s = 84,3 \text{ mm}, f_{ub} = 500 \text{ MPa}$$



Obr. 37: Schéma spoja horného pásu väzníka

Únosnosť v tahu

$$F_{Ed,1} = \frac{N_{Ed}}{n} = \frac{42,88}{2} = 21,44 \text{ kN}$$

$$F_{t,Rd} = \frac{0,9x f_{ub} x A_s}{\gamma_{M2}} = \frac{0,9x 500 x 84,3}{1,25} = 30,35 \text{ kN}$$

$N_{Ed} = 21,44 \text{ kN} \leq F_{t,Rd} = 30,35 \text{ kN} \Rightarrow \mathbf{VYHOVUJE}$

Únosnosť v pretlačení hlavy

$$B_{p,Rd} = \frac{0,6x \pi x f_u x d_m x t_p}{\gamma_{M2}} = \frac{0,6x \pi x 360 x 25,9 x 15}{1,25} = 210,9 \text{ kN}$$

$B_{p,Rd} = 210,9 \text{ kN} \leq F_{Ed,1} = 160,43 \text{ kN}$

Páčenie skrutky

$$t \leq t_c$$

$$4,3x \sqrt[3]{\frac{b \times d^2}{a}} = 4,3x \sqrt[3]{\frac{30 \times 20^2}{30}} = 31,68 > 20 \text{ mm}$$

$$\gamma_p = 1 + 0,005x \frac{t_e^3 - t^3}{d^2} = 1 + 0,005x \frac{31,68^3 - 15^3}{20^2} = 1,355$$

$$F_{Ed} = \gamma_p x N_{Ed,t} = 1,355 x 42,88 = 58,1 \text{ kN}$$

$$F_{Rd} = 2 \times F_{t,Rd} = 2 \times 70,56 = 141,12 \text{ kN} \geq F_{Ed} = 58,1 \text{ kN}$$

8.3.3 Montážny spoj dolného pásu

$$N_{Ed,t} = 314,51 \text{ kN}$$

Návrh plechu a skrutiek

$$t_p = 10 \text{ mm}, 6 \times M16 5.8$$

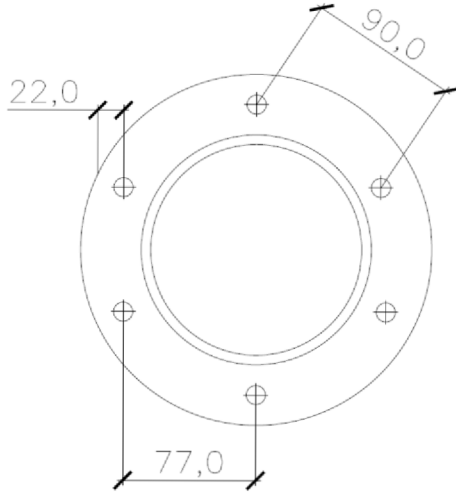
$$d = 16 \text{ mm}, d_0 = 18 \text{ mm}, A_s = 157 \text{ mm}, f_{ub} = 500 \text{ MPa}$$

Vzdialenosť k okrajom

$$e_1 = 1,2d_0 = 1,2 \times 18 = 21,6 \text{ mm} \rightarrow e_1 = 77 \text{ mm}$$

$$e_2 = 1,2d_0 = 1,2 \times 18 = 21,6 \text{ mm} \rightarrow e_2 = 22 \text{ mm}$$

$$p_1 = 2,2d_0 = 2,2 \times 18 = 39,6 \text{ mm} \rightarrow p_1 = 90 \text{ mm}$$



Obr. 38: Schéma spoja dolného pásu väzníka

Únosnosť v tahu

$$F_{Ed,1} = \frac{N_{Ed}}{n} = \frac{314,51}{2} = 52,42 \text{ kN}$$

$$F_{t,Rd} = \frac{0,9x f_{ub} x A_s}{\gamma_{M2}} = \frac{0,6x 500 x 157}{1,25} = 56,52 \text{ kN}$$

$$F_{Ed} = 52,42 \text{ kN} \leq F_{t,Rd} = 56,52 \text{ kN} \Rightarrow \mathbf{VYHOVUJE}$$

Únosnosť v pretlačení hlavy

$$B_{p,Rd} = \frac{0,6x \pi x f_u x d_m x t_p}{\gamma_{M2}} = \frac{0,6x \pi x 360 x 25,85 x 10}{1,25} = 140,333 \text{ kN}$$

$$B_{p,Rd} = 140,333 \text{ kN} \leq F_{Ed,1} = 52,42 \text{ kN}$$

Posúdenie zvaru

$$a = 3 \text{ mm}, l = 2\pi r = 2\pi x 66,5 = 417,8 \text{ mm}$$

$$\sigma_{\perp} = \tau_{\perp} = \frac{\sigma_w}{\sqrt{2}} = \frac{250,91}{\sqrt{2}} = 177,42 \text{ MPa}$$

$$\sigma_w = \frac{N}{a x l} = \frac{314,51 x 10^3}{3 x 417,8} = 250,91 \text{ MPa}$$

$$\sqrt{\sigma_{\perp}^2 + 3\tau_{\perp}^2 + 3\tau_{\parallel}^2} = \sqrt{177,42^2 + 3x177,42^2 + 3x0^2} = 354,84 \text{ MPa}$$

$$\frac{f_u}{\gamma_{M2} \times \beta_w} = \frac{360}{1,25 \times 0,8} = 360 \text{ MPa} \geq 354,84 \text{ MPa} \Rightarrow \mathbf{VYHOVUJE}$$

$$\sigma_{\perp} \leq \frac{f_u}{\gamma_{M2}}$$

$$33,59 \text{ MPa} \leq \frac{360}{1,25} = 177,42 \text{ MPa} \Rightarrow \mathbf{VYHOVUJE}$$

9 Kotvenie stĺpu

Kombinácia pre max ťahovú silu N

$$N_{\max} = 70,16 \text{ kN} \quad V = -28,99 \text{ kN} \quad M = 11,0 \text{ kNm}$$

Kombinácia pre max tlakovú silu N

$$N_{\max} = -195,84 \text{ kN} \quad V = -0,11 \text{ kN} \quad M = 0,87 \text{ kNm}$$

Kombinácia pre max posúvajúcu silu V

$$N = -38,09 \text{ kN} \quad V_{\max} = -37,97 \text{ kN} \quad M = 123,46 \text{ kNm}$$

Kombinácia pre max ohybový moment M

$$N = -38,09 \text{ kN} \quad V = -37,97 \text{ kN} \quad M_{\max} = 123,46 \text{ kNm}$$

Podliatie:

$$t = 40 \text{ mm}$$

$$C16/20$$

Návrh pätného plechu: $t_p = 30 \text{ mm}$ $b_p = 700 \text{ mm}$ $h_p = 400 \text{ mm}$
 $f_{yp} = 235 \text{ MPa}$ $f_u = 360 \text{ MPa}$

Návrh základovej pätky: 1000 x 1000 x 80

Kotevné skrutky: Ø24

$$A = 4,52 \times 10^{-4} \text{ m}^2 \quad f_{yb} = 640 \text{ MPa} \quad d = 24 \text{ mm}$$
$$A_s = 3,53 \times 10^{-4} \text{ m}^2 \quad f_{ub} = 800 \text{ MPa} \quad d_0 = 64 \text{ mm}$$

Navrhujem => 4 x Ø24 8.8

Minimálne rozteče:

$$e_1 = 1,2d_0 = 77 \text{ mm} \quad p_1 = 2,2d_0 = 141 \text{ mm}$$

$$e_2 = 1,2d_0 = 77 \text{ mm} \quad p_2 = 2,4d_0 = 154 \text{ mm}$$

Navrhujem => $e_1 = e_2 = 100 \text{ mm}$

$$p_1 = p_2 = 600 \text{ mm}$$

9.1 Návrhová únosnosť t'ahanej časti

Náhradná dĺžka T – prierezu

$$L_{\text{eff},1} = \min \left\{ \begin{array}{l} 2\pi m = 2\pi \times 100 = 628 \text{ mm} \\ \pi m + 2e_b = \pi \times 100 + 2 \times 100 = 514 \text{ mm} \\ \pi m + p = \pi \times 100 + 700 = 1014 \text{ mm} \\ 4m + 1,25e_b = 4 \times 100 + 1,25 \times 100 = 525 \text{ mm} \\ 2m + 0,625e_a + e_b = 2 \times 100 + 0,625 \times 100 + 100 = 363 \text{ mm} \\ b/2 = 700/2 = 350 \text{ mm} \end{array} \right\}$$

$$L_{\text{eff},1} = 350 \text{ mm}$$

Účinná dĺžka kotviacich skrutiek

$$L_{b,\text{eff}} = 8d + t_g + t + t_n/2 = 8 \times 24 + 40 + 40 + 24/2 = 284 \text{ mm}$$

Hrúbka pätného plechu

$$t_p = \sqrt[3]{\frac{6e_a m^2 A_s}{L_{b,\text{eff}} L_{\text{eff},1}}} = \sqrt[3]{\frac{6 \times 100 \times 100^2 \times 353}{284 \times 350}} = 27,72 \text{ mm}$$

9.1.1 Únosnosť konzoly pätného plechu s dvoma skrutkami

$$F_{t,Rd} = 2 \times \frac{L_{\text{eff},1} t^2 f_y}{4 m \gamma_{M0}} = 2 \times \frac{0,35 \times 0,03^2 \times 235 \times 10^6}{4 \times 0,1 \times 1,0} = 370,125 \text{ kN}$$

9.1.2 Únosnosť dvoch kotviacich skrutiek M24

$$F_{t,Rd} = 2 \times \frac{F_{yb} A_s}{\gamma_{M2}} = 2 \times \frac{640 \times 10^6 \times 3,53 \times 10^{-4}}{1,25} = 361,47 \text{ kN} \geq N_{max,t} = 70,16 \text{ kN}$$

$$F_{t,Rd} = 361,47 \text{ kN} \geq N_{max,t} = 70,16 \text{ kN} \Rightarrow \mathbf{VYHOVUJE}$$

9.2 Tlačená časť pätky

$$a_1 = b_1 = 1100 \text{ mm}$$

$$a = b = 800 \text{ mm}$$

$$k_j = \sqrt{\frac{a_1 b_1}{ab}} = \sqrt{\frac{1000^2}{700 \times 400}} = 1,89$$

9.2.1 Návrhová pevnosť betonu

$$f_{jd} = \frac{0,67 k_j f_{cb}}{\gamma_c} = \frac{0,67 \times 1,89 \times 16}{1,5} = 13,51 \text{ MPa}$$

9.2.2 Určenie efektívnej plochy pätky

$$c = t \sqrt{\frac{f_y}{3f_{jd}\gamma_{M0}}} = 0,03 \sqrt{\frac{235 \times 10^6}{3 \times 13,51 \times 10^6 \times 1,0}} = 0,75 \text{ m}$$

$$A_{eff} = \min(b; b_c + 2c) \times \min(a; h_c + 2c) - \max(\min(b; b_c + 2c) - t_w - 2c; 0) \times \max(h_c - 2t_f - 2c; 0)$$

$$A_{eff} = \min(400; 240 + 2 \times 75) \times \min(600; 230 + 2 \times 75) - \max(\min(400; 240 + 2 \times 75) - 7,5 - 2 \times 75; 0) \times \max(230 - 2 \times 12 - 2 \times 75; 0) = \min(400; 390) \times \min(600; 380) - \max(\min(400; 390) - 7,5 - 2 \times 75; 0) \times \max(56; 0) = 390 \times 380 - 232,5 \times 56 = 135 180 \text{ mm}^2$$

Šírka účinnej plochy

$$b_{eff} = \frac{A_{eff}}{h_c + 2c} = \frac{135180}{230 + 2 \times 75} = 356 \text{ mm}$$

Rameno sily v betone k ose stĺpu

$$r_c = \frac{h_c}{2} + c - \frac{b_{eff}}{2} = \frac{230}{2} + 75 - \frac{356}{2} = 12 \text{ mm}$$

$$r_b = 300 \text{ mm}$$

9.2.3 Momentová únosnosť pätky stĺpu

$$M_{Rd} = F_{t,Rd} \times r_b + A_{eff} \times f_{jd} \times r_c = 361,47 \times 10^3 \times 0,3 + 0,1352 \times 13,51 \times 10^6 \times 0,012$$

$$M_{Rd} = 130,36 \text{ kNm} > M_{Ed} = 123,46 \text{ kNm} \Rightarrow \mathbf{VYHOVUJE}$$

9.2.4 Návrhová únosnosť tlačenej pätky

$$N_{Rd} = A_{eff} \times f_{jd} = 0,1352 \times 13,51 \times 10^6 = 1826,6 \text{ kN}$$

$$N_{Rd} = 1826,6 \text{ kN} > N_{Ed} = 195,84 \text{ kN} \Rightarrow \mathbf{VYHOVUJE}$$

9.2.5 Posudok pätného plechu na tlakové namahnie

$$\sigma_c = \frac{N_{Ed}}{A_{eff}} = \frac{195,84 \times 10^3}{0,1352} = 1,45 \text{ MPa} \leq f_{jd} = 13,51 \text{ MPa} \Rightarrow \text{VYHOVUJE}$$

9.2.6 Prenos posúvajúcej sily

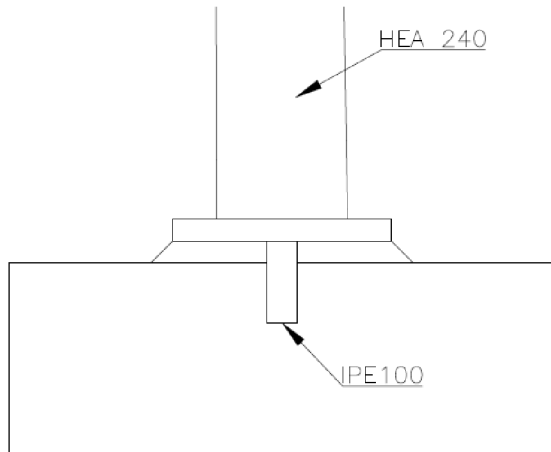
$$V_{Rd} = c_{fd} N_{Ed} = 0,2 \times 38,09 = 7,62 \leq V_{Ed} = 37,97 \text{ kN} \rightarrow \text{NEVYHOVUJE}$$

Úpalok z IPE100

$$h_{min} = \frac{V_{Ed}}{l \times f_{cd}} = \frac{37,97}{0,1 \times 10,67 \times 10^6} = 0,036 \text{ m}$$

$$h = 40 + h_{min} = 40 + 36 = 76 \text{ mm}$$

Navrhujem úpalok IPE100, h= 100 mm



Obr. 39 Umiestnenie úpalku IPE 100

9.2.7 Posúdenie kotviacich skrutiek 4x Ø24 8.8

$$A = 4,52 \times 10^{-4} \text{ m}^2 \quad f_{yb} = 640 \text{ MPa} \quad d = 24 \text{ mm}$$

$$A_s = 3,53 \times 10^{-4} \text{ m}^2 \quad f_{ub} = 800 \text{ MPa} \quad d_0 = 64 \text{ mm}$$

Návrhová únosnosť 1 skrutky v strihu

$$F_{v,Rd} = \frac{0,6x f_{ub} x A_s}{\gamma_{M2}} = \frac{0,6x 800x 10^6 x 4,52x 10^{-4}}{1,25} = 173,6 kN$$

$$F_{Ed} = \frac{N_{Ed}}{n} = \frac{37,97}{4} = 9,49 kN$$

$F_{Ed} = 9,49 kN \leq F_{v,Rd} = 173,6 kN \Rightarrow \mathbf{VYHOVUJE}$

Návrhová únosnosť 1 skrutky v otlačení

$$F_{b,Rd} = \frac{k_1 x \alpha x f_u x A_s x d x t}{\gamma_{M2}} = \frac{2,5x 0,52x 360x 24x 4}{1,25} = 359,4 kN$$

$F_{Ed,1} = 9,49 kN \leq F_{b,Rd} = 359,4 kN \Rightarrow \mathbf{VYHOVUJE}$

Návrhová únosnosť 1 skrutky v ťahu

$$F_{t,Rd} = \frac{0,9x f_{ub} x A_s}{\gamma_{M2}} = \frac{0,9x 800x 10^6 x 3,53x 10^{-4}}{1,25} = 203,3 kN$$

$$F_{Ed} = \frac{N_{Ed}}{n} = \frac{70,16}{4} = 17,6 kN$$

$F_{Ed} = 17,6 kN \leq F_{v,Rd} = 203,3 kN \Rightarrow \mathbf{VYHOVUJE}$

9.2.8 Posudok zvaru dosky a stípu

$a = 5 \text{ mm}, \quad l = 416 \text{ mm}$

Stojina:

$$\tau_{//} = \frac{V_{Ed}}{a x l} = \frac{0,11x 10^3}{5x 417} = 0,05 MPa$$

Pásnica:

$a = 5 \text{ mm}, \quad l = 416 \text{ mm}$

$$\sigma_{\perp} = \tau_{\perp} = \frac{N_{Ed}}{axlx\sqrt{2}} = \frac{195,84}{5x470x\sqrt{2}} = 58,93 MPa$$

$$\sqrt{\sigma_{\perp}^2 + 3\tau_{\perp}^2 + 3\tau_{//}^2} = \sqrt{58,93^2 + 3x58,93^2 + 3x0,05^2} = 117,86 MPa$$

$$\frac{f_u}{\gamma_{M2}x\beta_w} = \frac{360}{1,25x0,8} = 360 MPa \geq 117,86 MPa \Rightarrow \mathbf{VYHOVUJE}$$

ZOZNAM OBRÁZKOV

Obr. 1: Schematický pôdorys	2
Obr. 2: Schematický priečny rez	3
Obr. 3: Schematická čelná stena.....	3
Obr. 4: Axonometria.....	4
Obr. 5: Roznos od strešného plášťa na väznice.....	6
Obr. 6: Mapa snehových oblastí ČR s vyznačením výstavby	7
Obr. 7: Tvarové súčinitele zaťaženia snehom	7
Obr. 8: Roznos plného snehu na väznice.....	8
Obr. 9: Roznos snehu naviateho vľavo.....	9
Obr. 10: Roznos snehu naviateho vpravo	9
Obr. 11: Mapa veterných oblastí ČR s vyznačením výstavby.....	10
Obr. 12: Zaťaženie od pozdĺžneho vetra na pozdĺžne a čelné steny	12
Obr. 13: Schéma zaťaženia paždíkov od pozdĺžneho vetra.....	12
Obr. 14: Zaťaženie od pozdĺžneho vetra na strechu	13
Obr. 15: Schéma zaťaženia väzníc od pozdĺžneho vetra	14
Obr. 16: Taťaženie od priečneho vetra na čelné a bočné steny	16
Obr. 17: Schéma zaťaženia paždíkov od priečneho vetra	17
Obr. 18: Schéma pôsobenia vetra na strechu.....	18
Obr. 19: Súčinitele vonkajšieho tlaku pre valcovú strechu	18
Obr. 20: Kľúč kombinácií z programu	20
Obr. 21: Zaťaženie plným snehom	21
Obr. 22: TR Ø 152,4 X 5	22
Obr. 23: TR Ø 133 X 6,3	25

Obr. 24: IPE 240.....	29
Obr. 25: HEA 240.....	31
Obr. 26: TR Ø 60,3 X 8	34
Obr. 27: Maximálny priehyb väznice $\delta_{\max,y}$	37
Obr. 28: Maximálny priehyb väznice $\delta_{\max,z}$	37
Obr. 29: Maximálne priehyby čelných stĺpov	38
Obr. 30: Maximálny priehyb väznice $\delta_{\max,y}$	39
Obr. 31 Maximálny priehyb väznice $\delta_{\max,z}$	39
Obr. 32: Maximálne priehyby čelných stĺpov	40
Obr. 33: Vyznačenie riešených spojov	41
Obr. 34: Pohľad na det. A zhora.....	41
Obr. 35: Prípoj väzníka na stĺp	45
Obr. 36: Prípoj prutov a montážny spoj horného pasu	47
Obr. 37: Schéma spoja horného pásu väzníka	51
Obr. 38: Schéma spoja dolného pásu väzníka	53
Obr. 40 Umiestnenie úpalku IPE 100	58

ZOZNAM TABULIEK

Tab. 1: Zaťaženie naviatym snehom vľavo	9
Tab. 2: Zaťaženie naviatym snehom vpravo	10
Tab. 3: Zaťaženie od pozdĺžneho vetra na paždíky čelnej a pozdĺžnej steny	13
Tab. 4: Zaťaženie od pozdĺžneho vetra na väznice	15
Tab. 5: Zaťaženie od priečneho vetra na paždíky	17
Tab. 6: Zaťaženie od priečneho vetra na väznice	19